L'impronta ottica spettrale dei cianobatteri

Bresciani Mariano

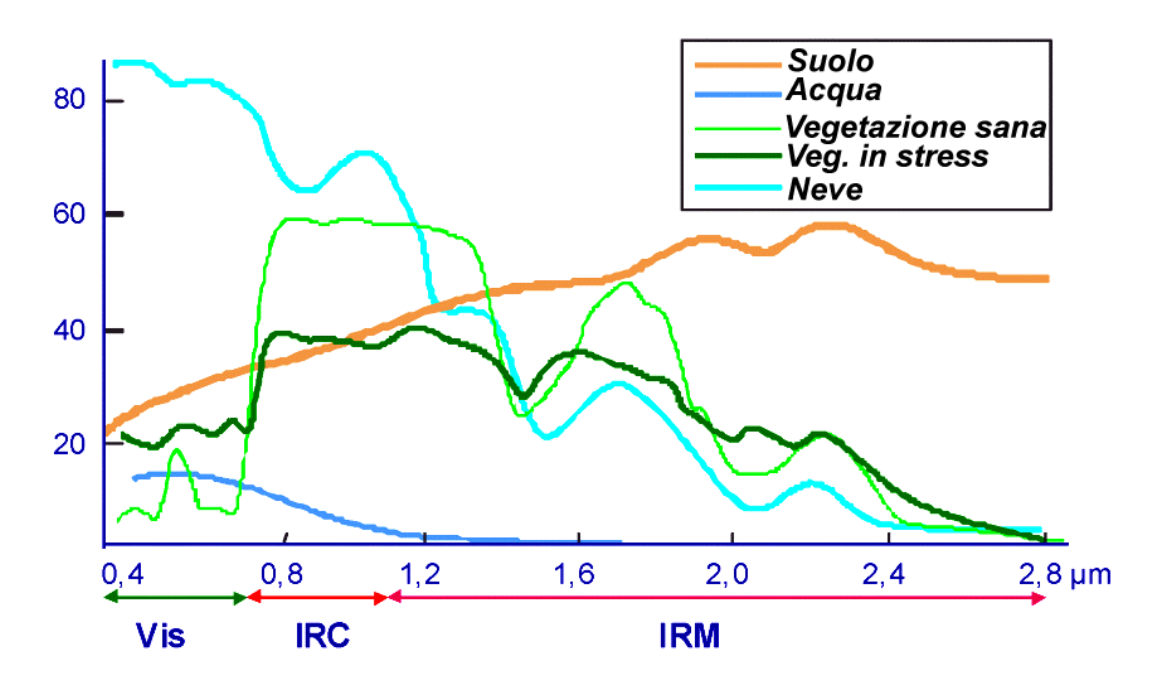
Lauceri Sara, Lami Andrea, Pinardi Monica, Matta Erica, Giardino Claudia, Austoni Martina, Viaggiu Emanuela, Morabito Giuseppe



La "firma spettrale"



L'interazione tra l'energia incidente e le superfici naturali lascia una "traccia" chiamata firma spettrale.

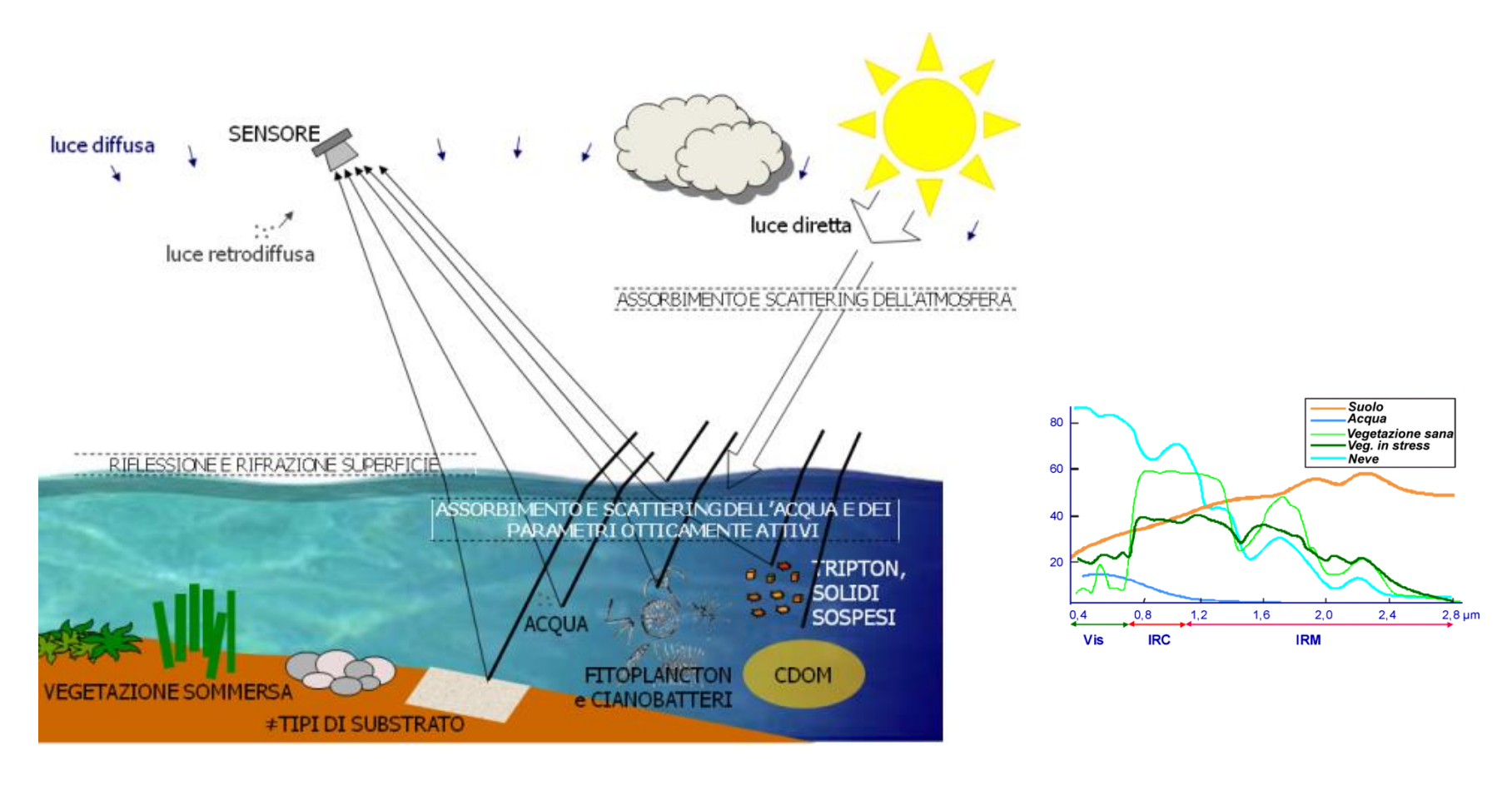


La **firma spettrale** è una caratteristica che ogni materiale ha, ed è specifica per ogni combinazione di riflessi e assorbimenti delle radiazioni elettromagnetiche (EM) a diverse lunghezze d'onda.

Conoscendo la firma spettrale di un oggetto, è possibile identificarlo univocamente.

La risposta spettrale delle acque





L'acqua in condizioni di purezza, riflette fino ad un massimo del 5% dell'energia incidente, infatti il flusso radiante che penetra in acqua subisce fenomeni di trasmissione, assorbimento e di scattering che riducono fortemente l'energia che fuoriesce.

Proprietà ottiche dell'acqua



PROPRIETA' OTTICHE delle ACQUE

IOP PROPRIETA' OTTICHE INERENTI

Dipendono dal *medium* e risultano indipendenti dalle condizioni di luce al suo interno

AOP PROPRIETA' OTTICHE APPARENTI

Dipendono dal *medium* ma anche dalla struttura geometrica del campo di luce

Proprietà ottiche inerenti



Risposta Spettrale dell'acqua
$$=\frac{b_b}{a+b_b}$$

Assorbimento

$$a(\lambda) = a_w + a_{\Phi}(\lambda, chl - a) + a_{NAP}(\lambda, SPM) + a_{CDOM}(\lambda, a_{CDOM}(440))$$

Back-scattering

$$b_b(\lambda) = b_{bw}(\lambda) + b_{b\Phi}(\lambda, chl - a) + b_{bNAP}(\lambda, SPM)$$



HydroScat-6 per misure di backscattering in situ



Ac-9/S per misure di attenuazione e scattering

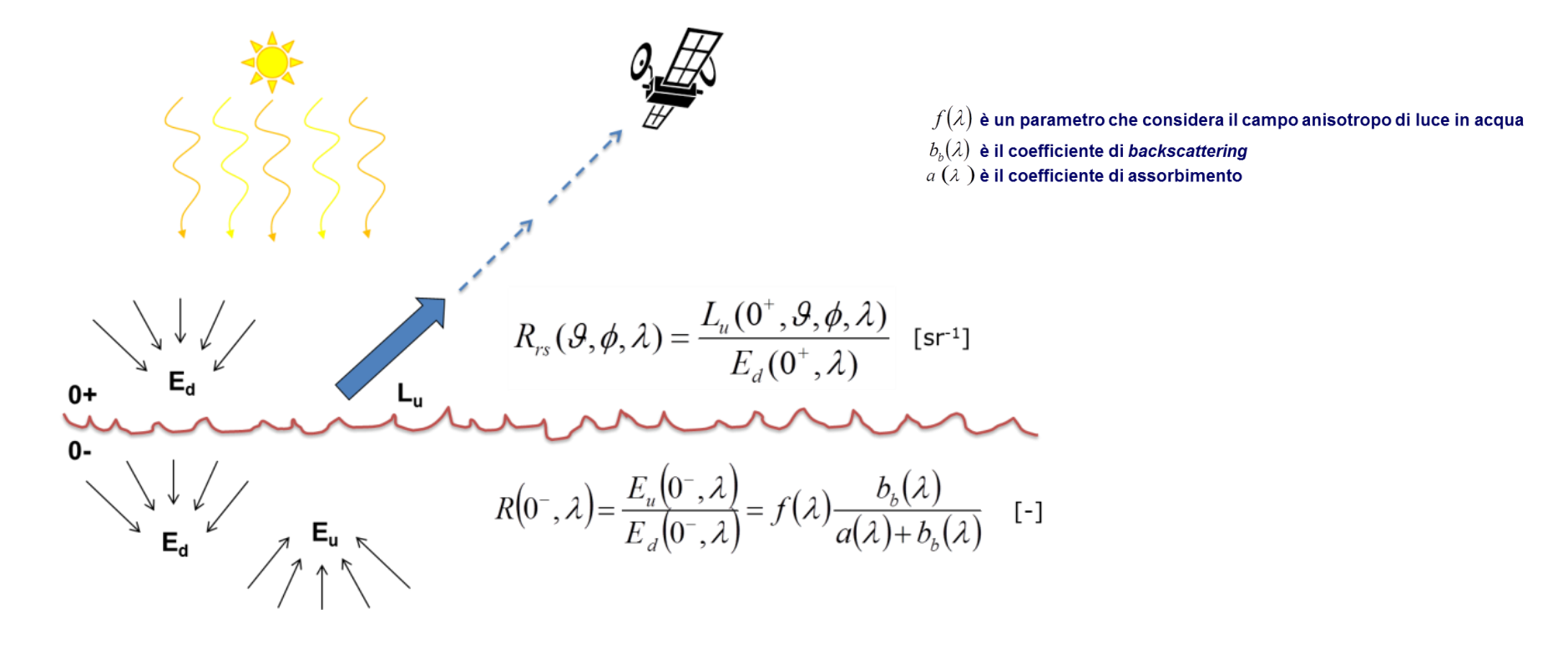




Spettrofotometri per misure di assorbimento in laboratorio su campioni filtrati in situ

Proprietà ottiche apparenti



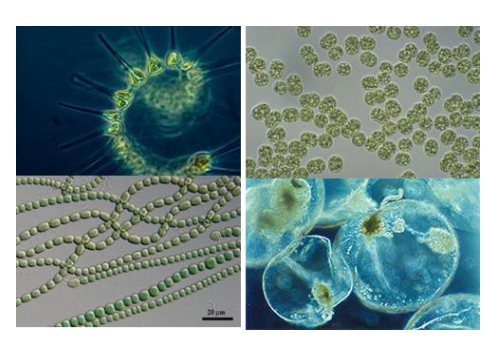


$$R_{rs} = I \frac{R(0-)}{Q(1-\gamma R(0-))}$$

I è un parametro che tiene conto del trasferimento radiativo attraverso l'interfaccia aria-acqua Q e γ sono parametri che tengono conto dell'angolo di vista e delle proprietà della colonna d'acqua

Costituenti otticamente attivi nella colonna d'acqua





Fitoplancton

Pigmenti fotosintetici



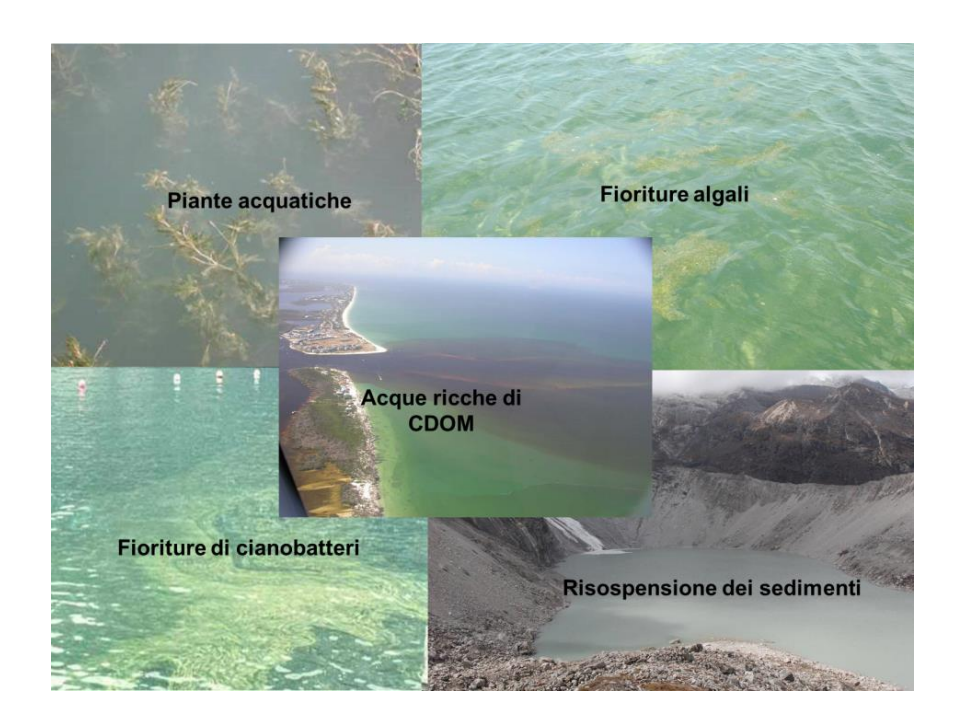
Solidi sospesi totali

Sostanze organiche ed inorganiche



CDOM

Sostanze organiche colorate disciolte





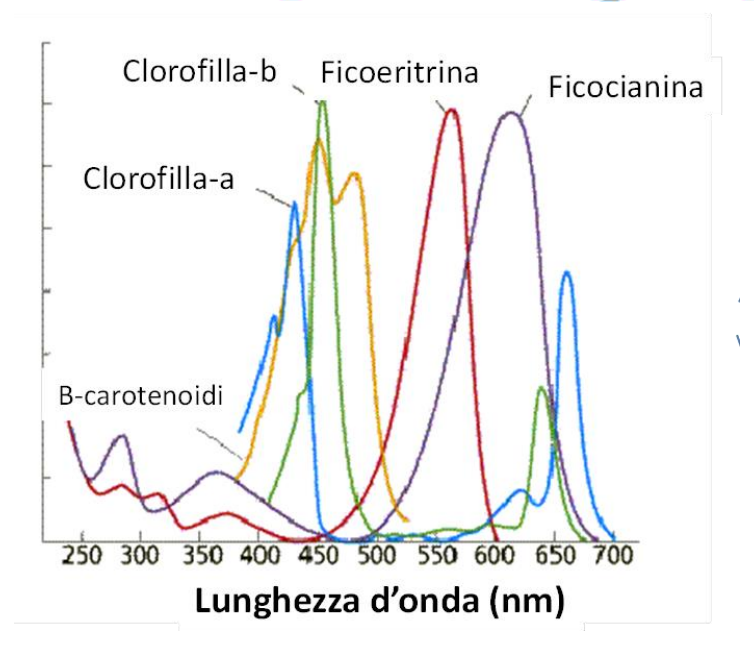
Vegetazione acquatica

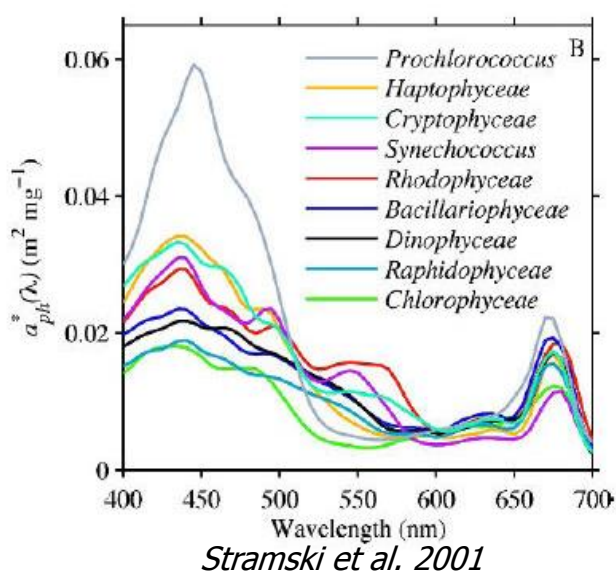
II fitoplancton

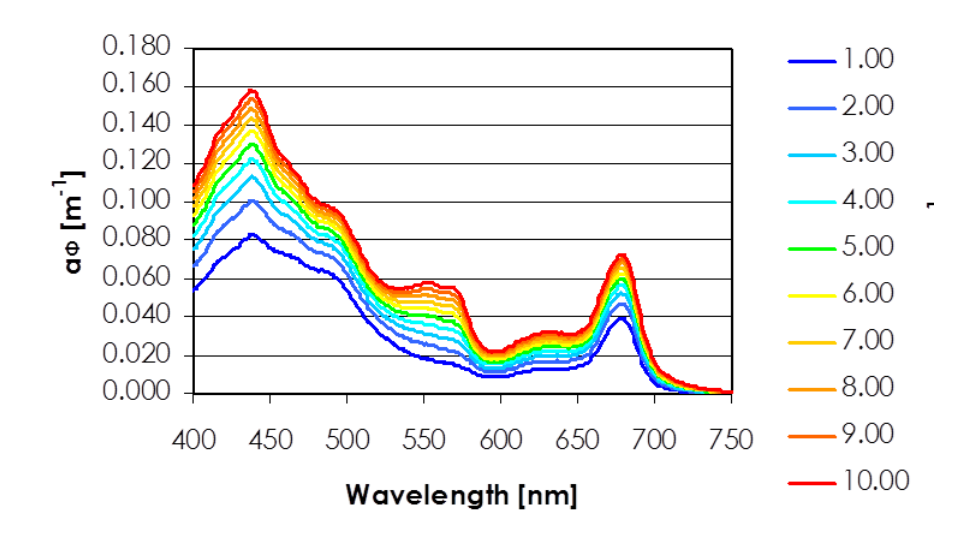


Assorbimento

Pigmenti fotosintetici e fotoprotettivi

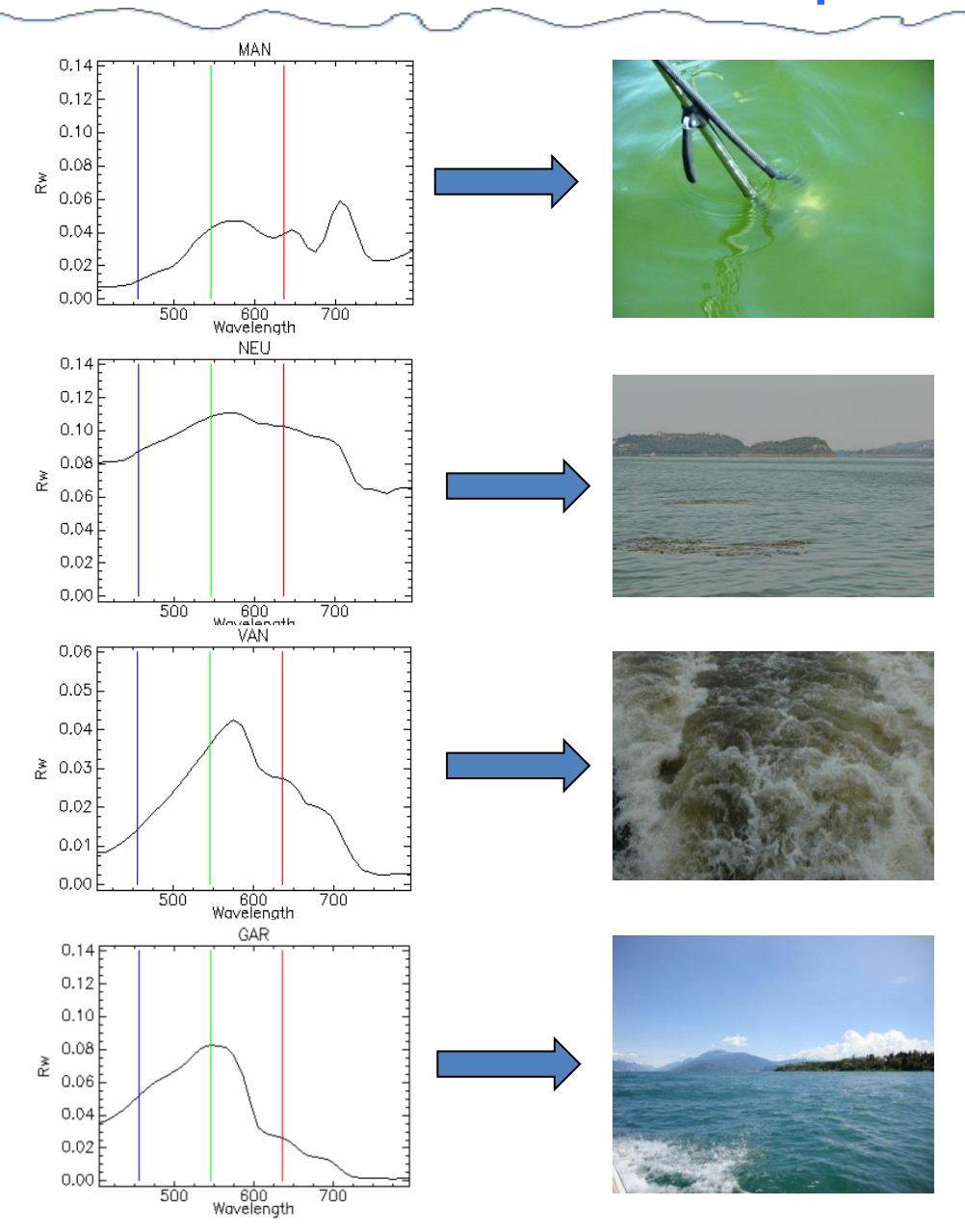


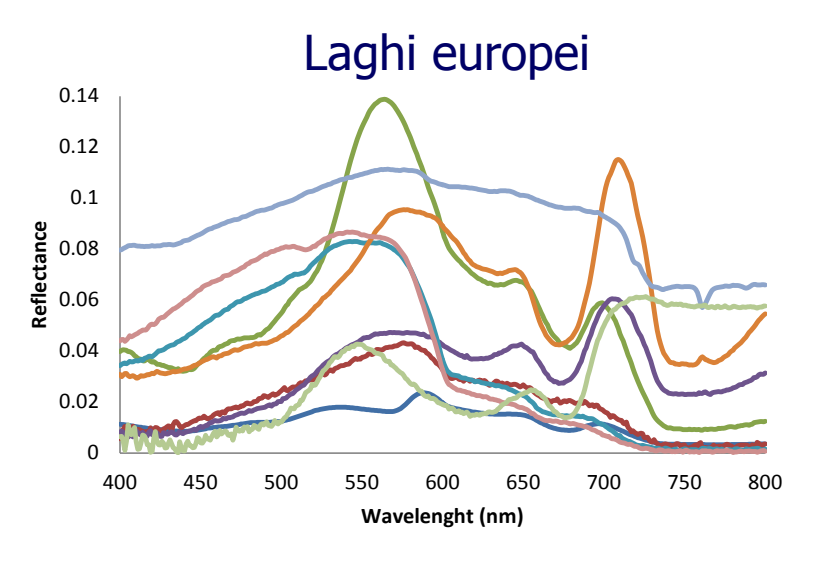




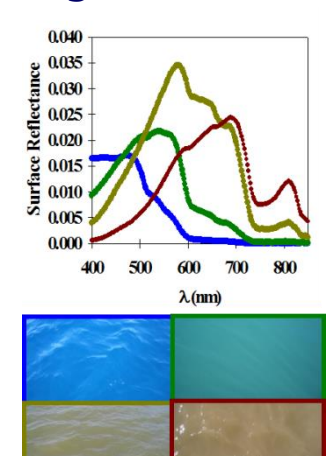
La variabilità spettrale delle acque



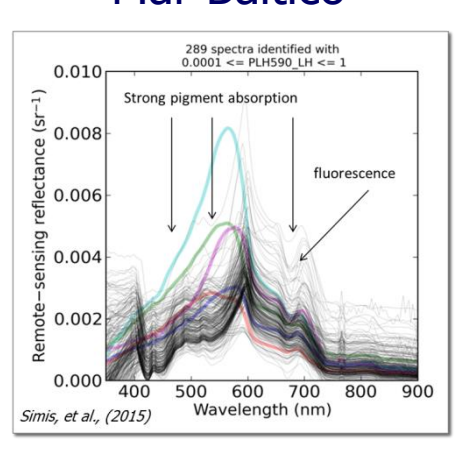




Laghi australiani



Mar Baltico

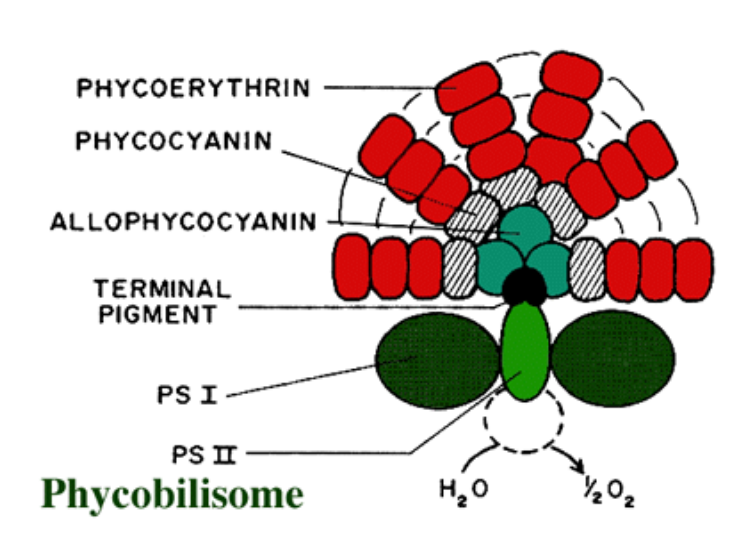


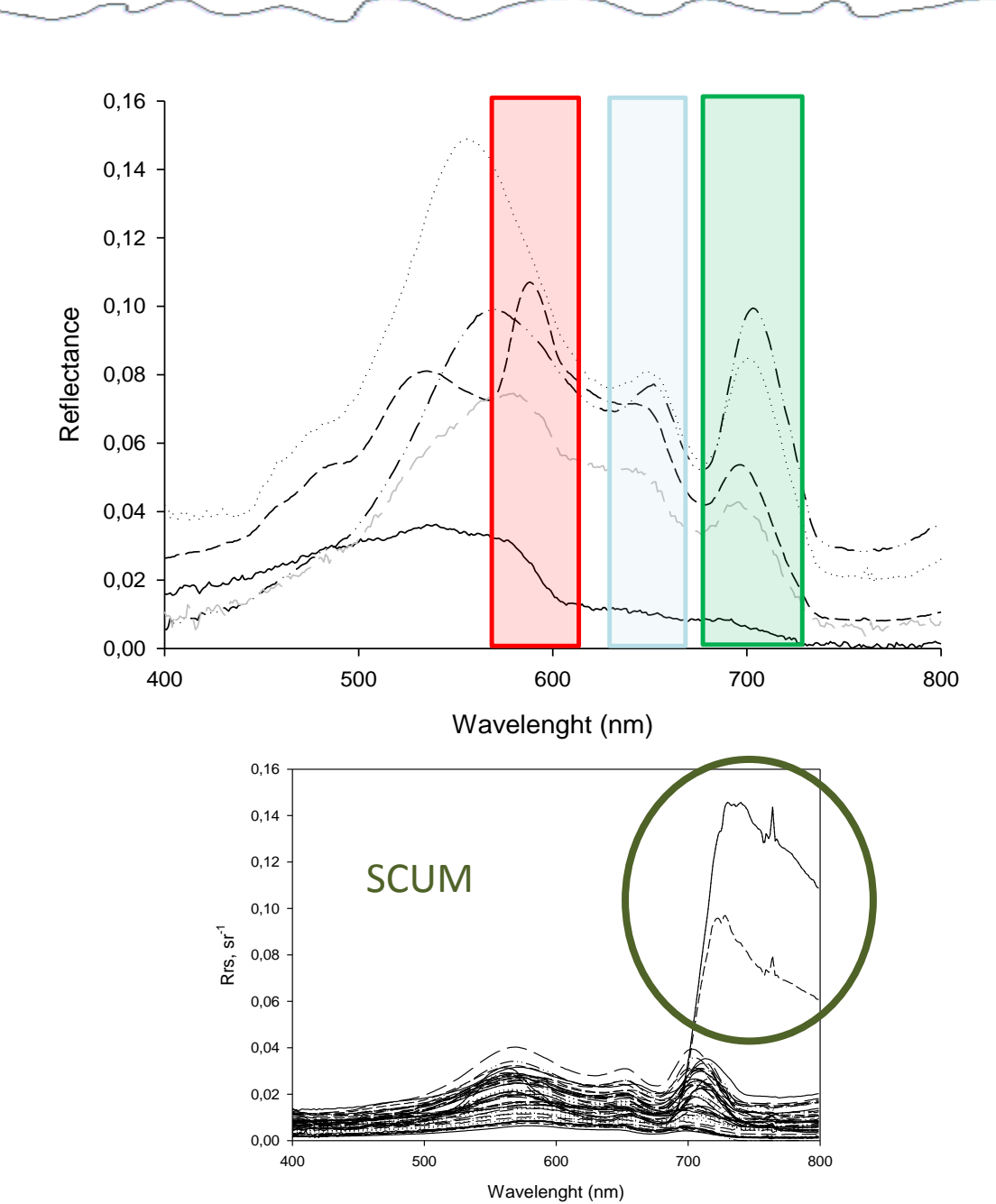
La variabilità spettrale dei cianobatteri



Presenza di differenti pigmenti fotosintetici:

Clorofilla-a Ficocianine-Alloficianine Ficoeritrine





La variabilità spettrale dei cianobatteri



Culture di laboratorio







Fioriture In situ









Spettroradiometri











Strumentazione



Fluorimetri





HPLC



Spettrofotometri



Hydroscat-Ac9

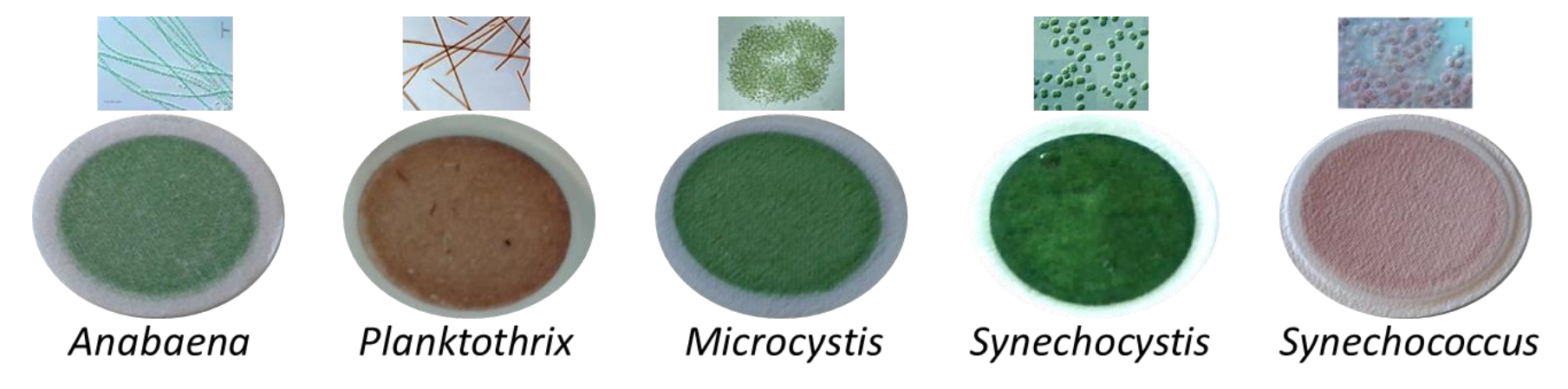


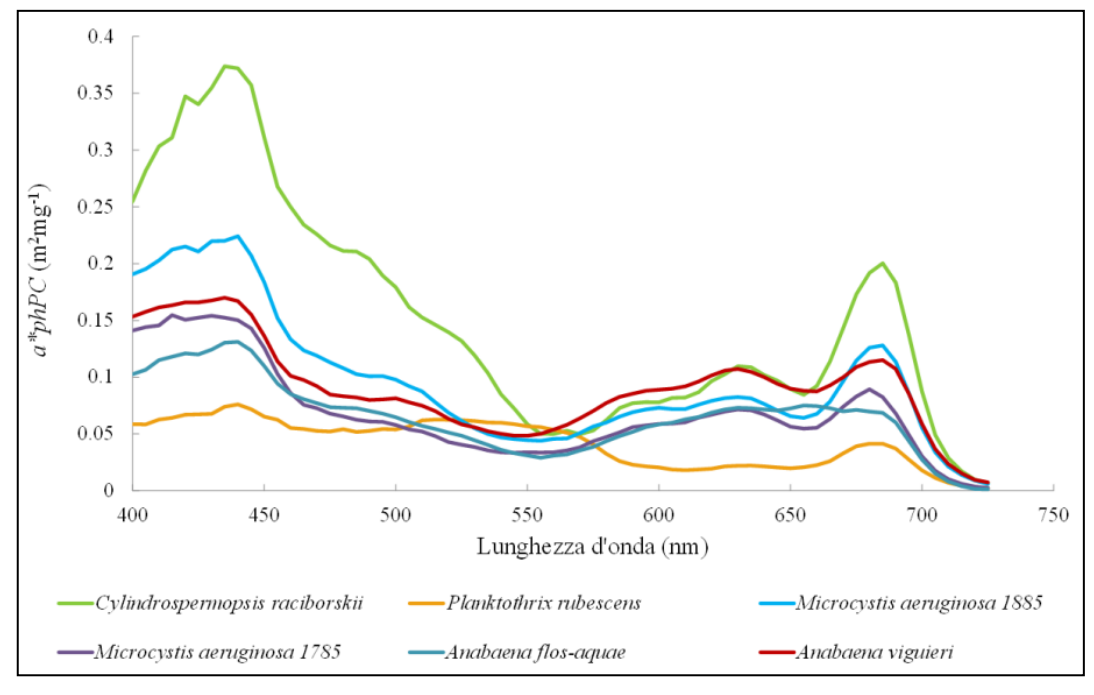
Microscopio



Proprietà inerenti



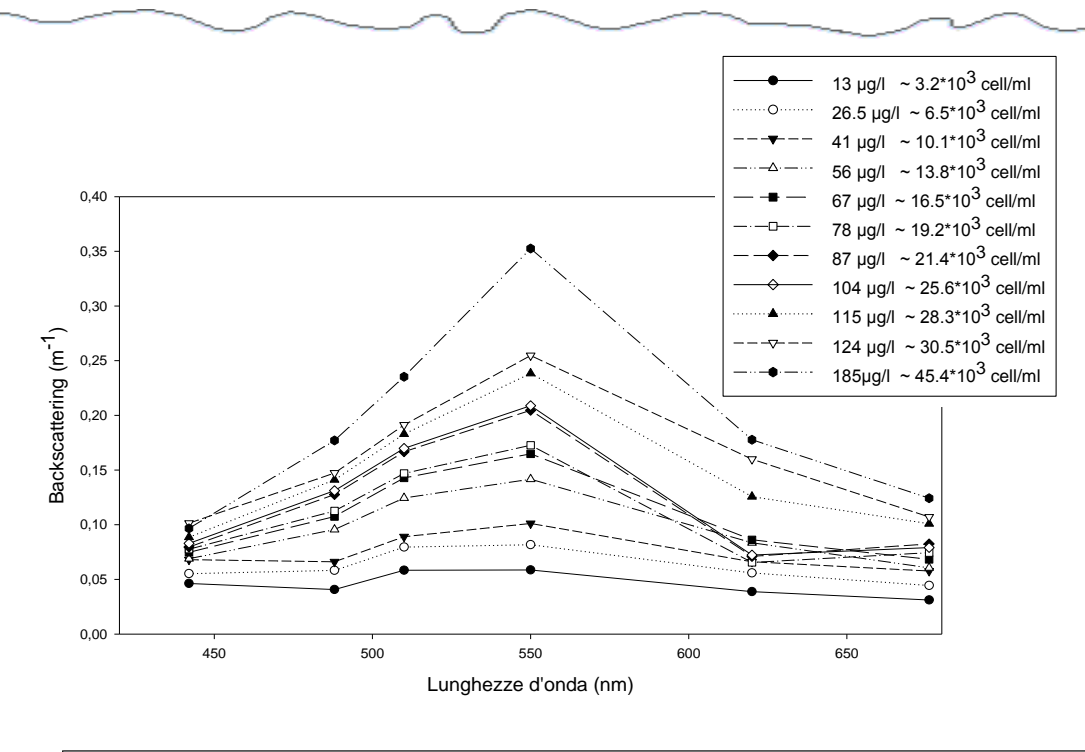




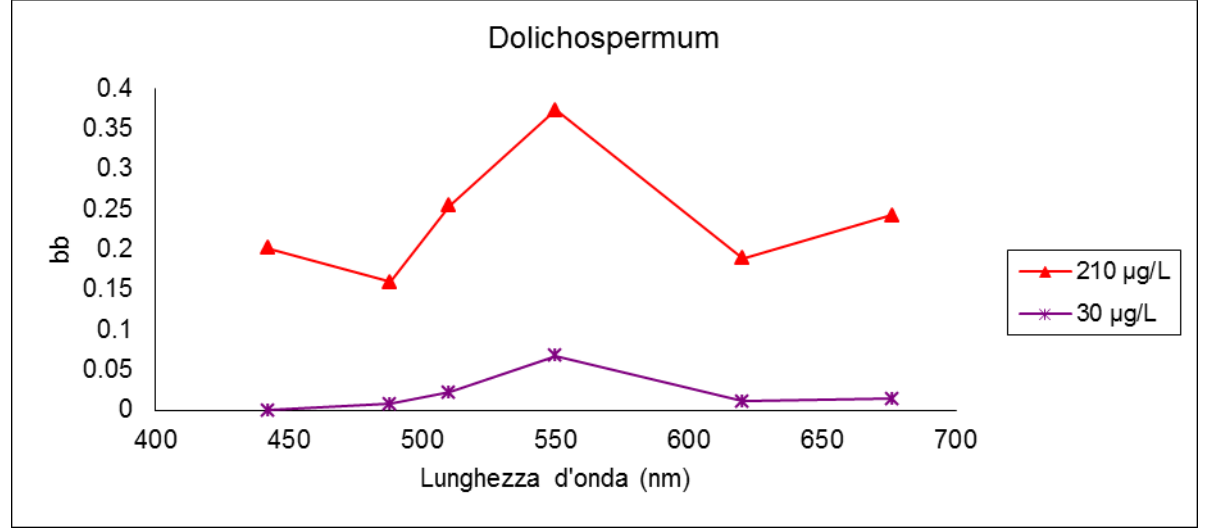
Assorbimenti specifici per le diverse specie di cianobatteri

backscattering





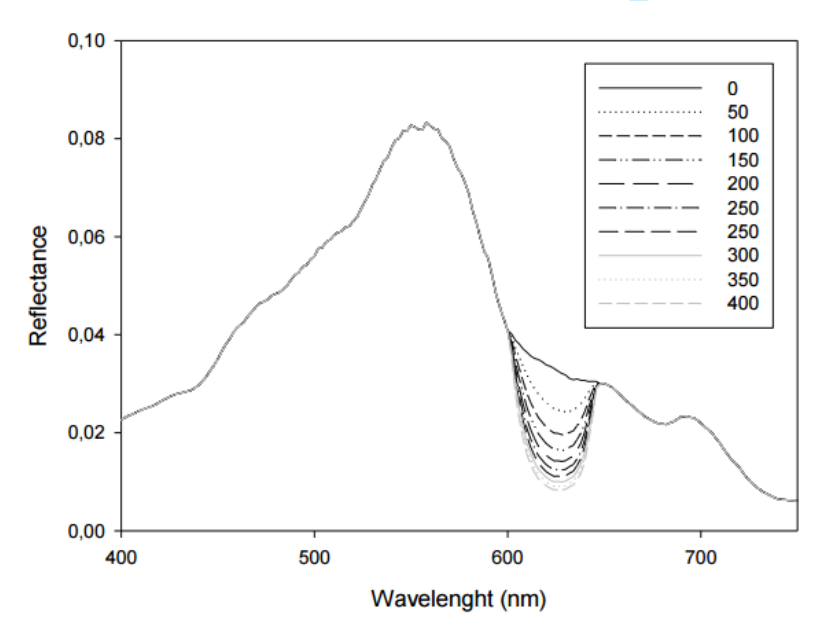
Valori di backscattering misurati su campioni noti di *Microcystis*.

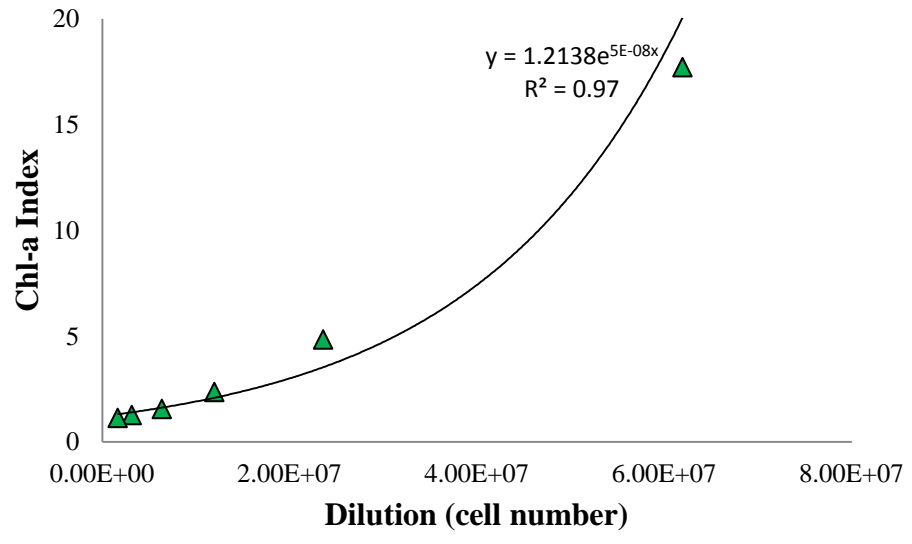


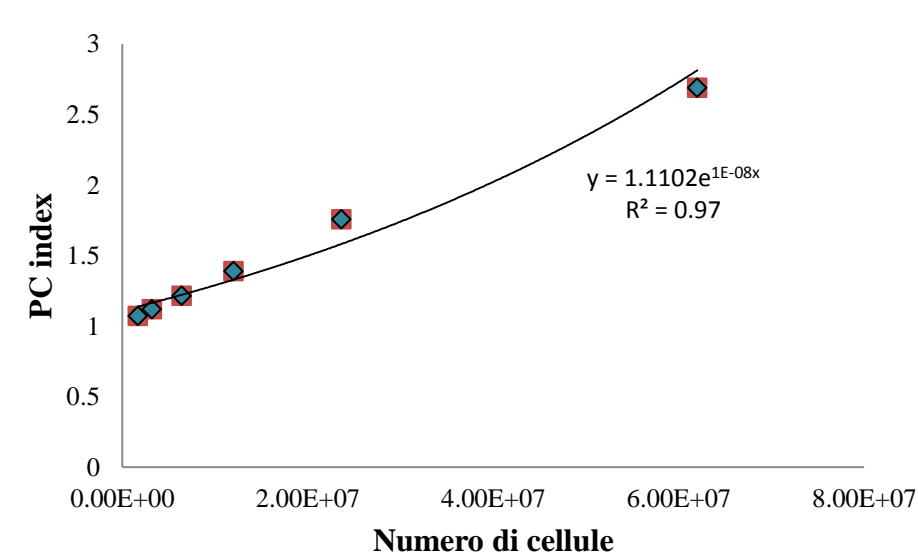
Valori di backscattering misurati su campioni noti di *Dolichospermum*.

Simulazione modellistica



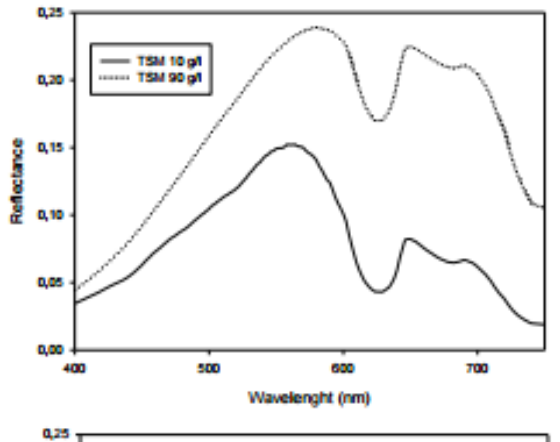




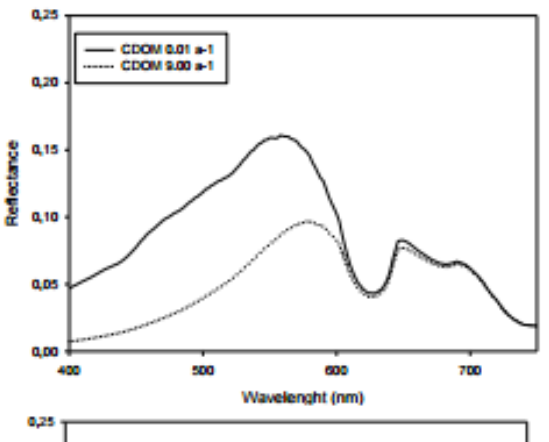


Valutazione dell'interazione con altri parametri ottici

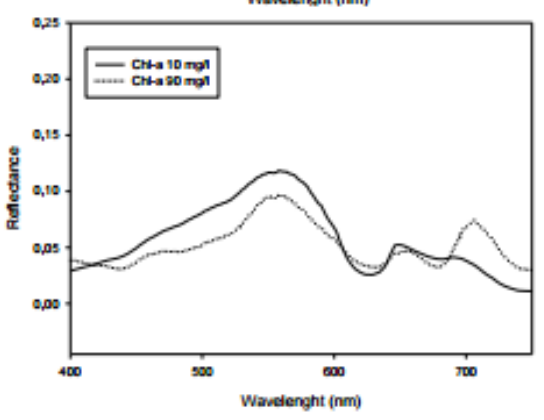




La variazione delle concentrazioni di TSM non condiziona la stima tramite indici radiometrici dei pigmenti ficocianina e ficoeritrina mentre determina un errore di circa del 20% nella stima radiometrica della concentrazione di clorofilla.



La variazione del CDOM non condiziona la stima radiometrica di CHI-a, PC e PE

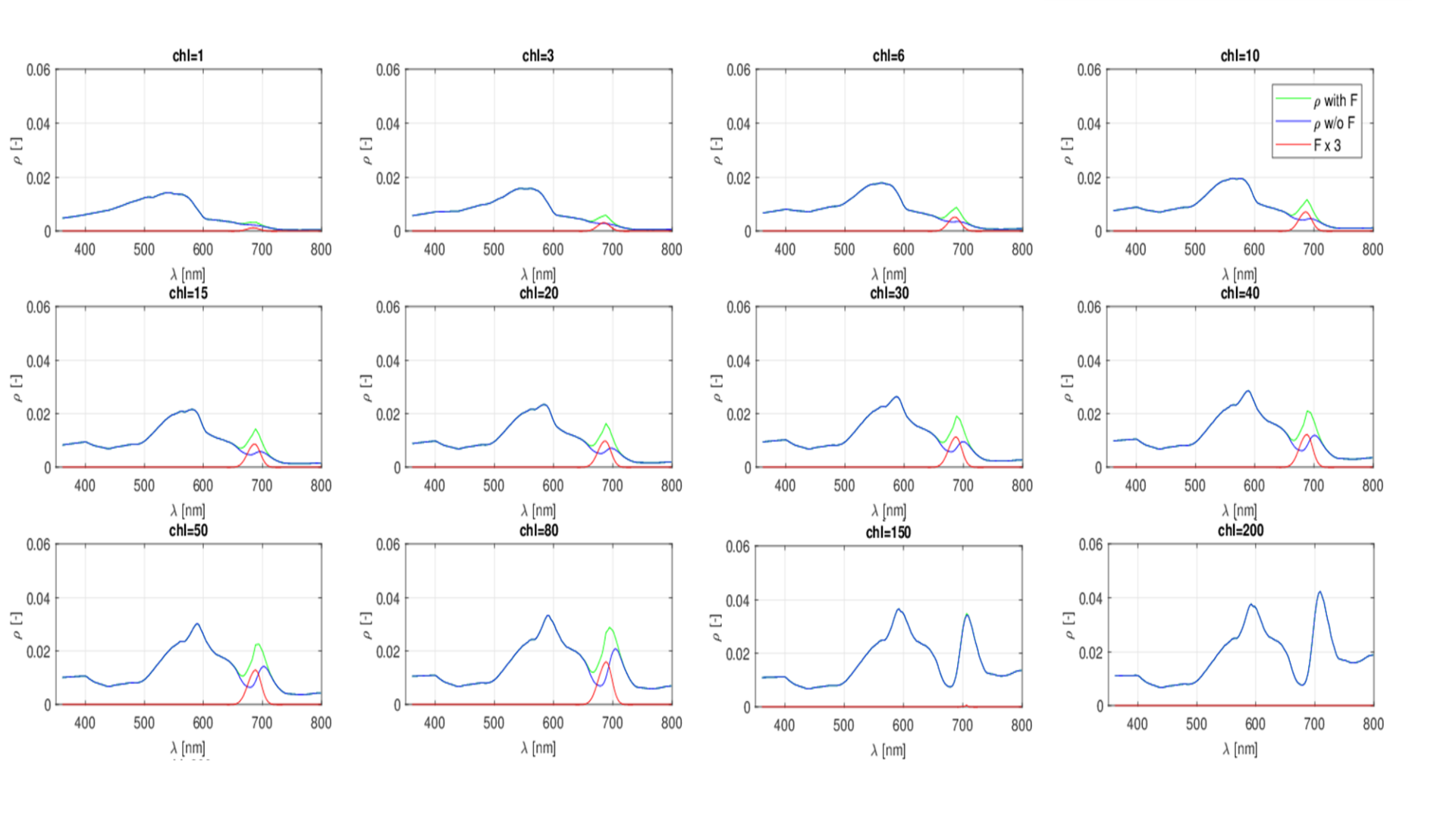


La variazione della concentrazione di Chl-a dovuta ad altri gruppi di fitoplancton determina variazioni notevoli nelle stime simulative dell'indice della clorofilla e determina una errore di circa il 10% per i pigmenti secondari



Simulazioni

Hydrolight riflettanze



Hydrolight 12 0,05 0,05 10 ρw/oF $\rho_{\text{min}} \text{ w/o F}$ 0,04 0,04 Frequency 0,03 0,03 0,02 0,02 0,01 0,01 r 150 658,5 661,5 0,00 r 200 800 800 400 400 500 Wavelength (nm) Simis et al. 2015 50 800.0 Reflectance minimum SICF Non 40 Riflettanza Absorption maximum Remore-sensing Reflectance 0.006 0.005 0.0004 0.0003 0.0001 fluorescenza Frequency Chlorophyll-a Hihgh CDOM absorption Hihg water absorption 10 665 667 669 671 673 675 677 Wavelength (nm) pigment absorption 0.000 500 600 700 800

900 1000

400

Wavelength (nm)

Fluorescenza

Assorbimento

Dall'Olmo and Gitelson 2005

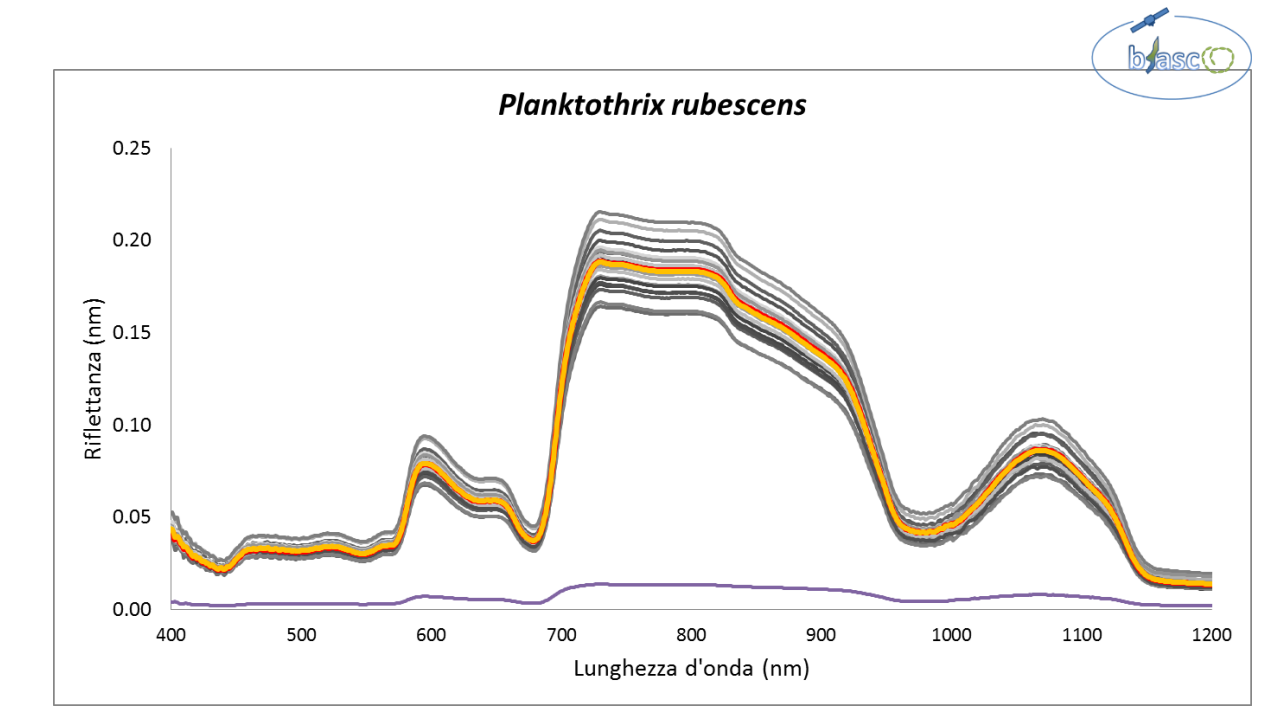
Misure radiometriche

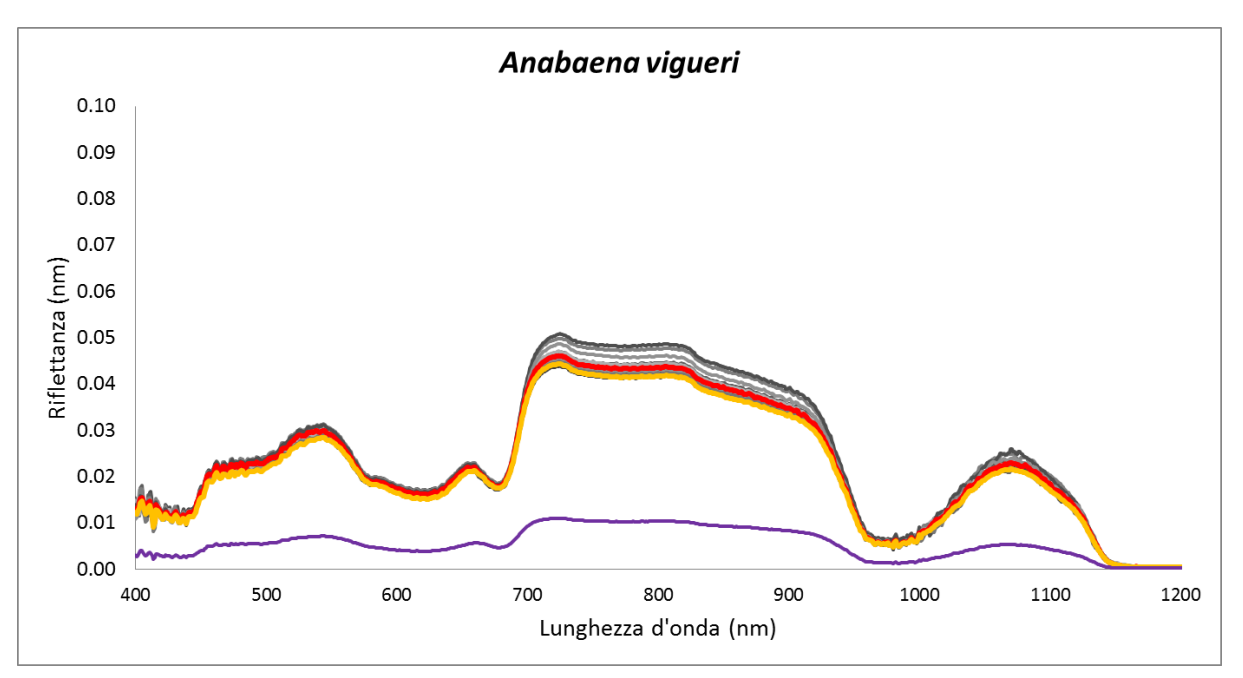


Standardizzazione protocollo di misura in laboratorio

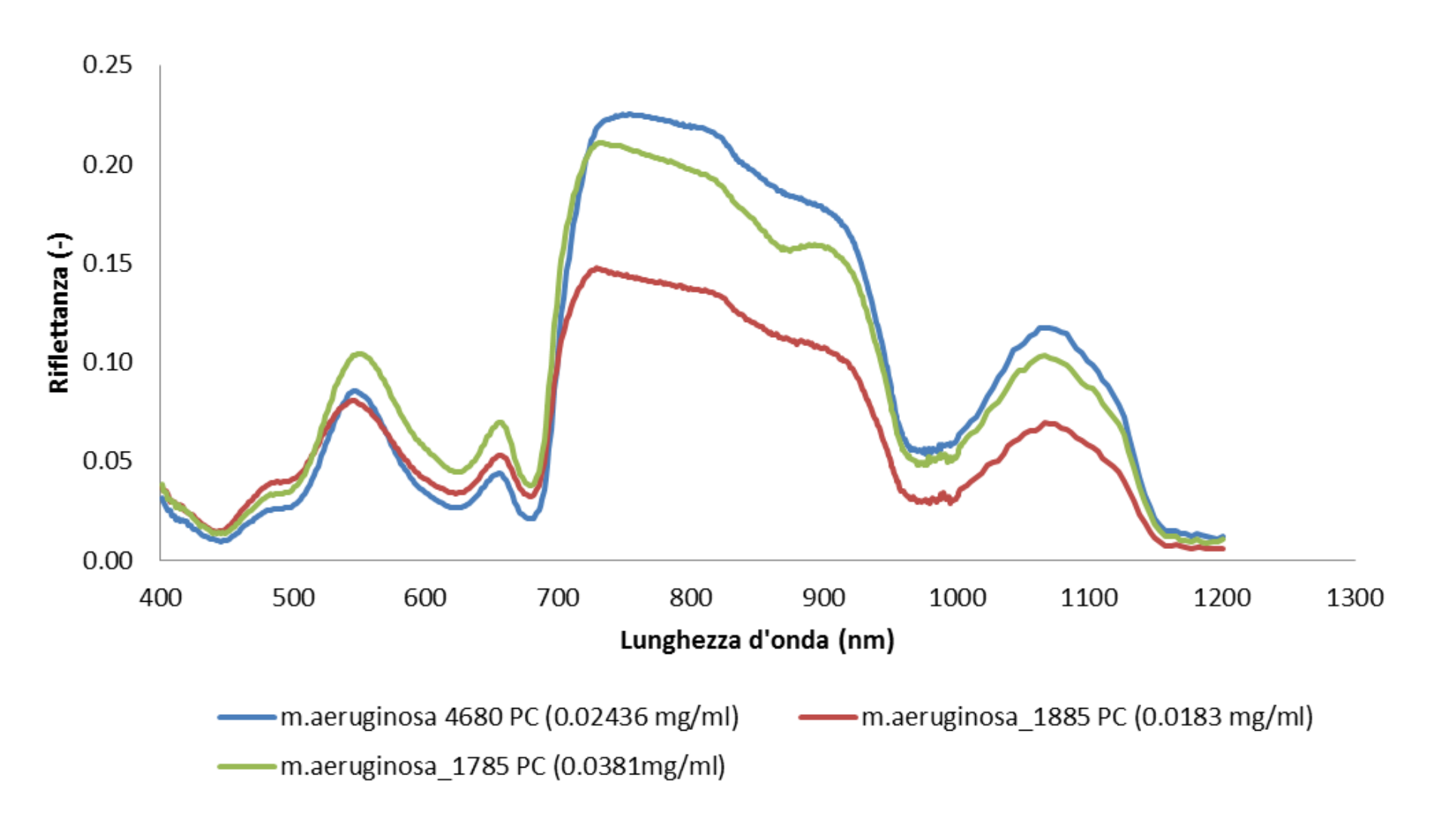
- Misura spettrale della vetreria utilizzata
- Utilizzo di vetreria di ridotte dimensioni per ridurre gli effetti di disturbo
- Utilizzo di superficie di fondo in NEOPRENE
- Utilizzo di lampade stabilizzate a luce bianca
- Riduzione degli effetti speculari tramite angolazioni differenti d'illuminazione e misure sub nadirali
- Elevato numero di repliche

- Elevato numero di repliche
- Rimozione disturbo spettrale vetreria
- Analisi della presenza di effetti speculari e loro rimozione
- Calcolo di media, mediana, deviazione standard
- Rimozione degli outlier
- Analisi delle features spettrali
- Applicazione dei rapporti di banda e correlazione con le misure di concentrazione



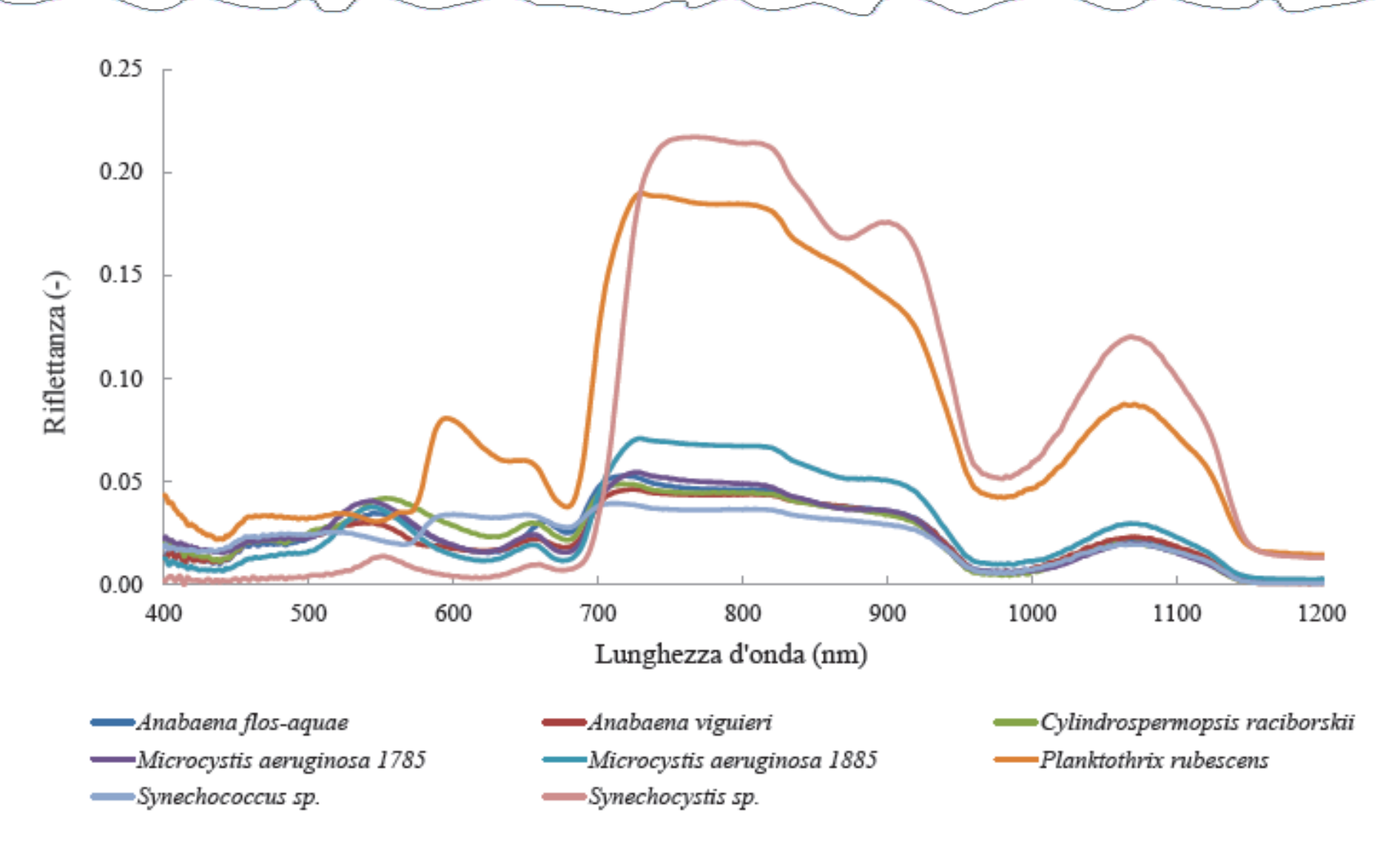






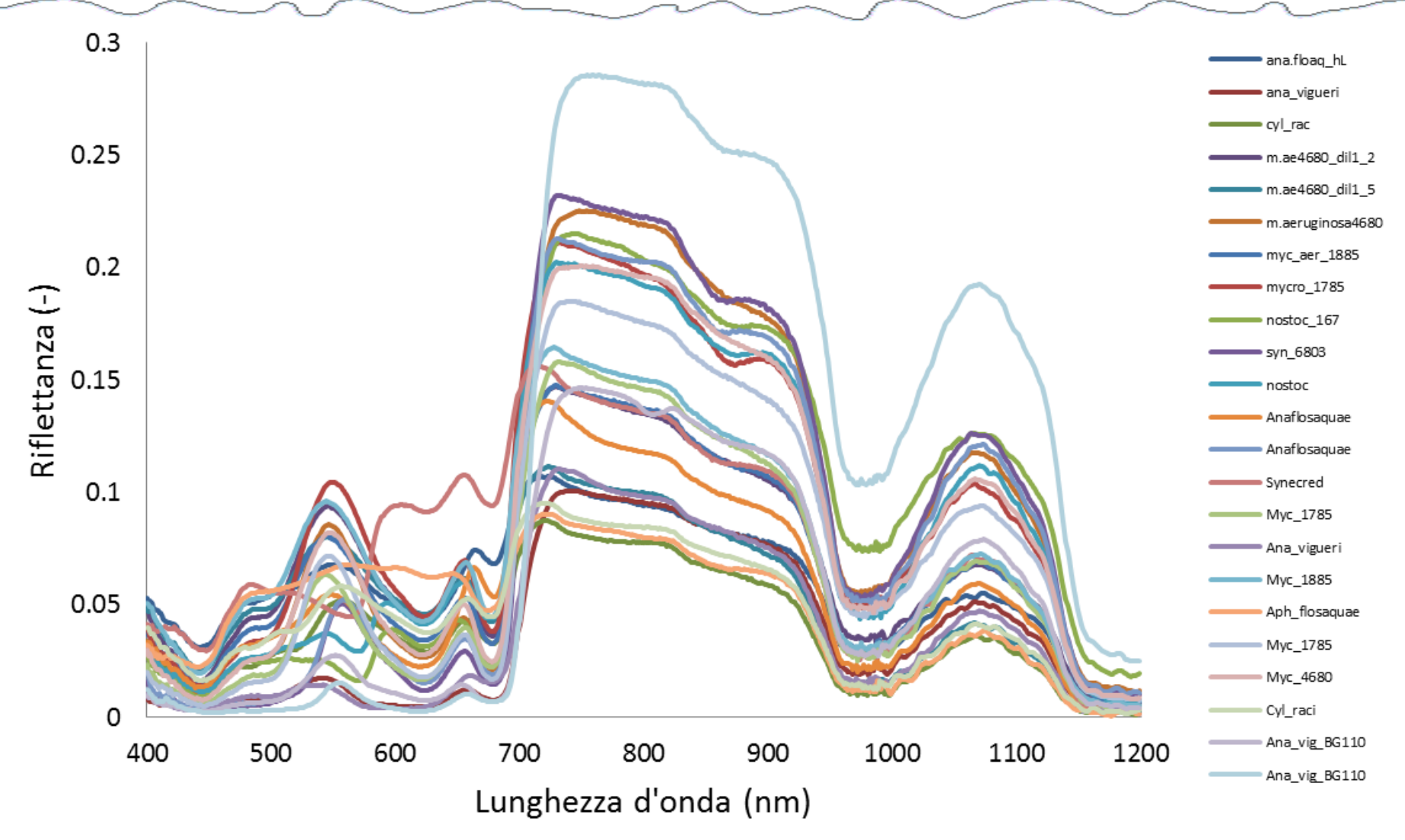
Confronto tra le differenti firme spettrali della stessa specie ma di ceppi differenti (creazione di banche dati di riferimento)





Confronto tra le differenti firme spettrali di specie differenti (creazione di banche dati di riferimento)

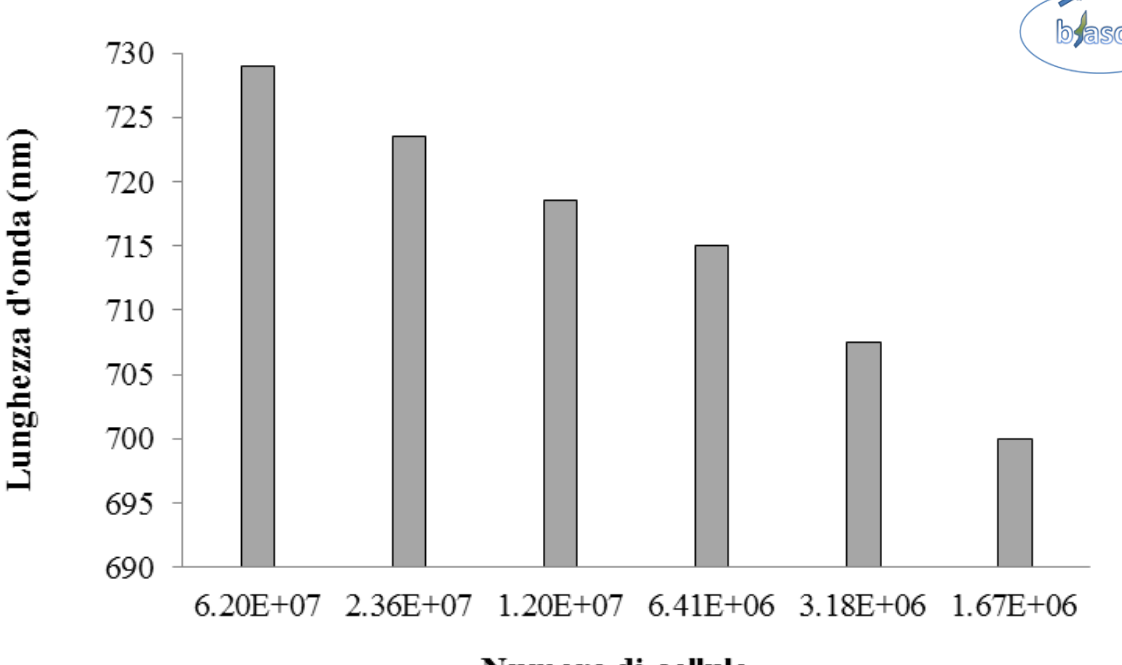




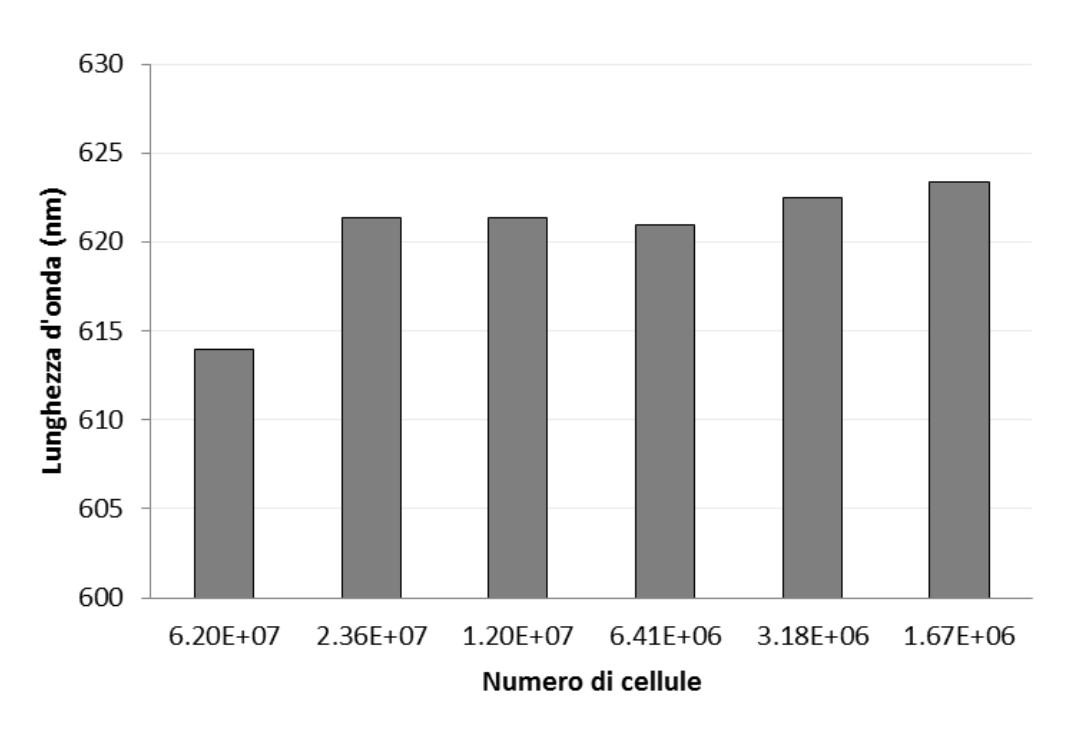
Confronto tra le differenti firme spettrali di specie differenti e differenti condizioni di concentrazione e condizione di crescita (creazione di banche dati di riferimento)

Picco massimo di riflettanza dovuto allo scattering nella regione della Clorofilla

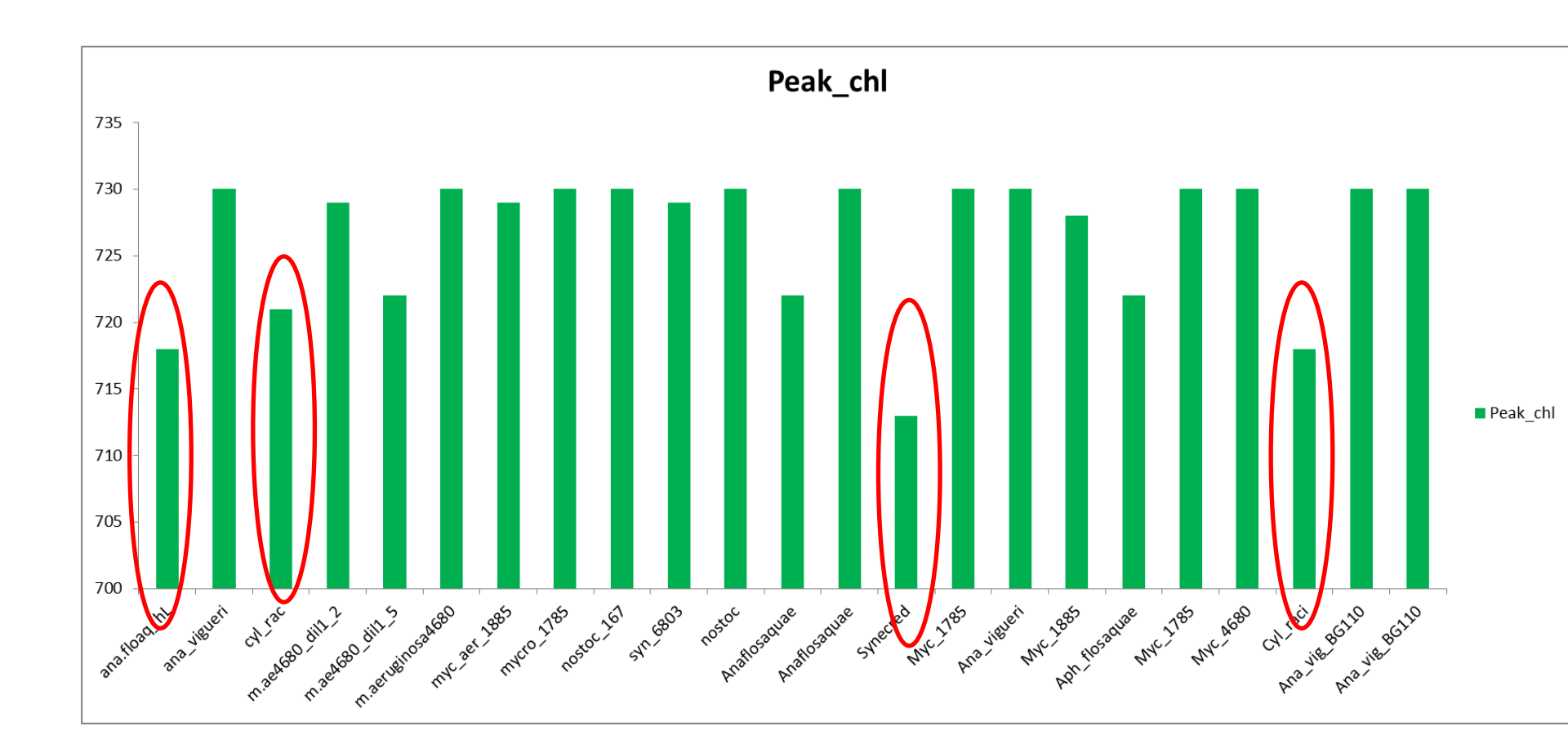
Picco massimo di assorbimento dovuto alla ficocianina



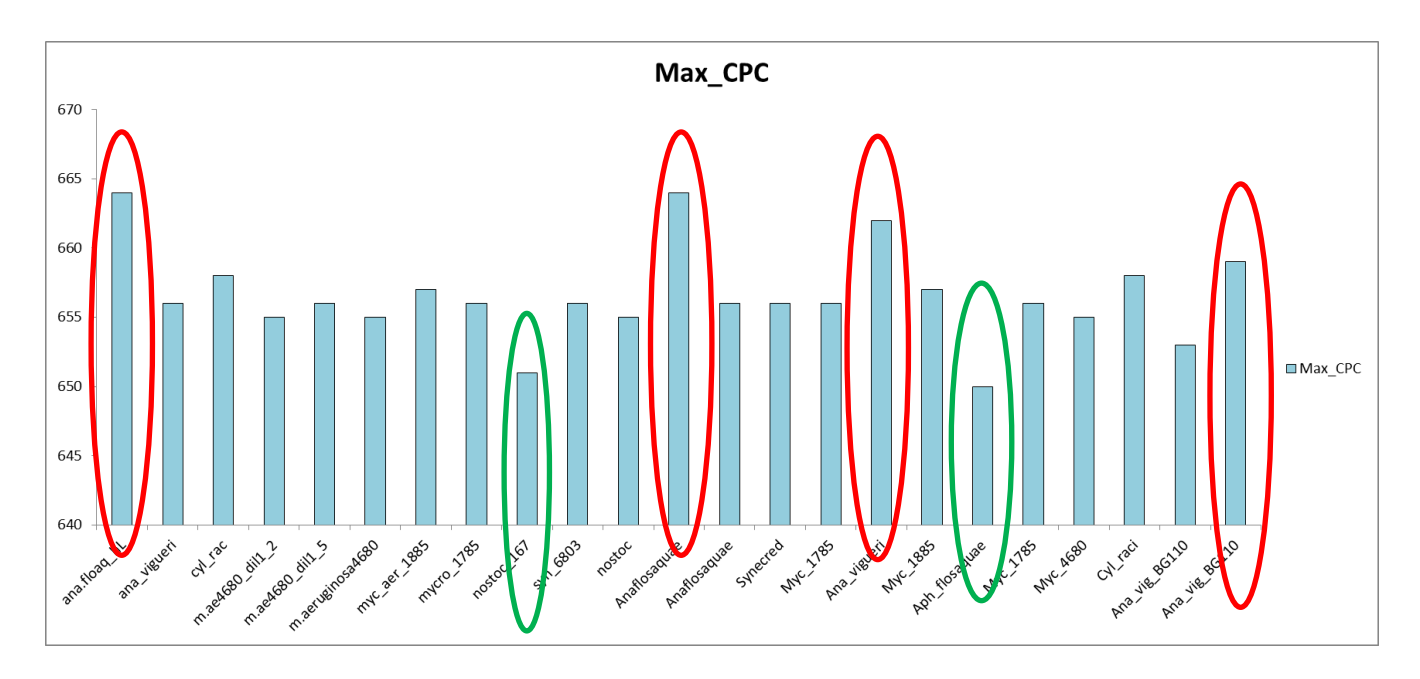
Numero di cellule



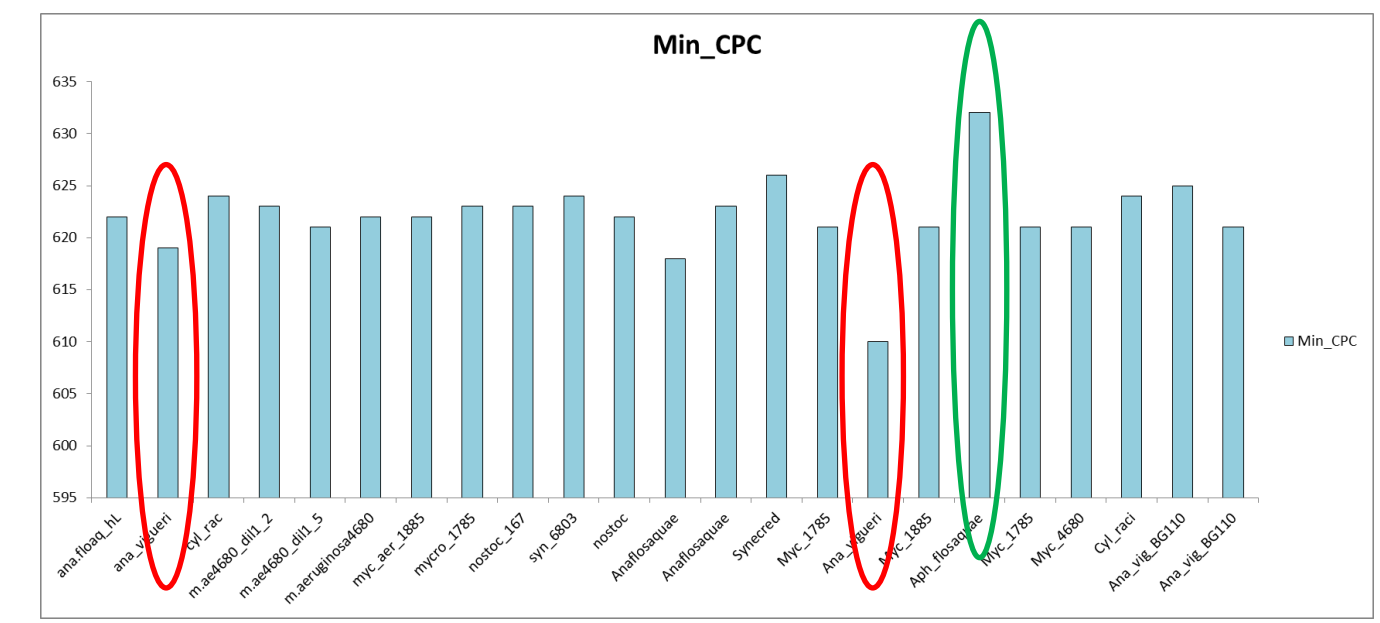




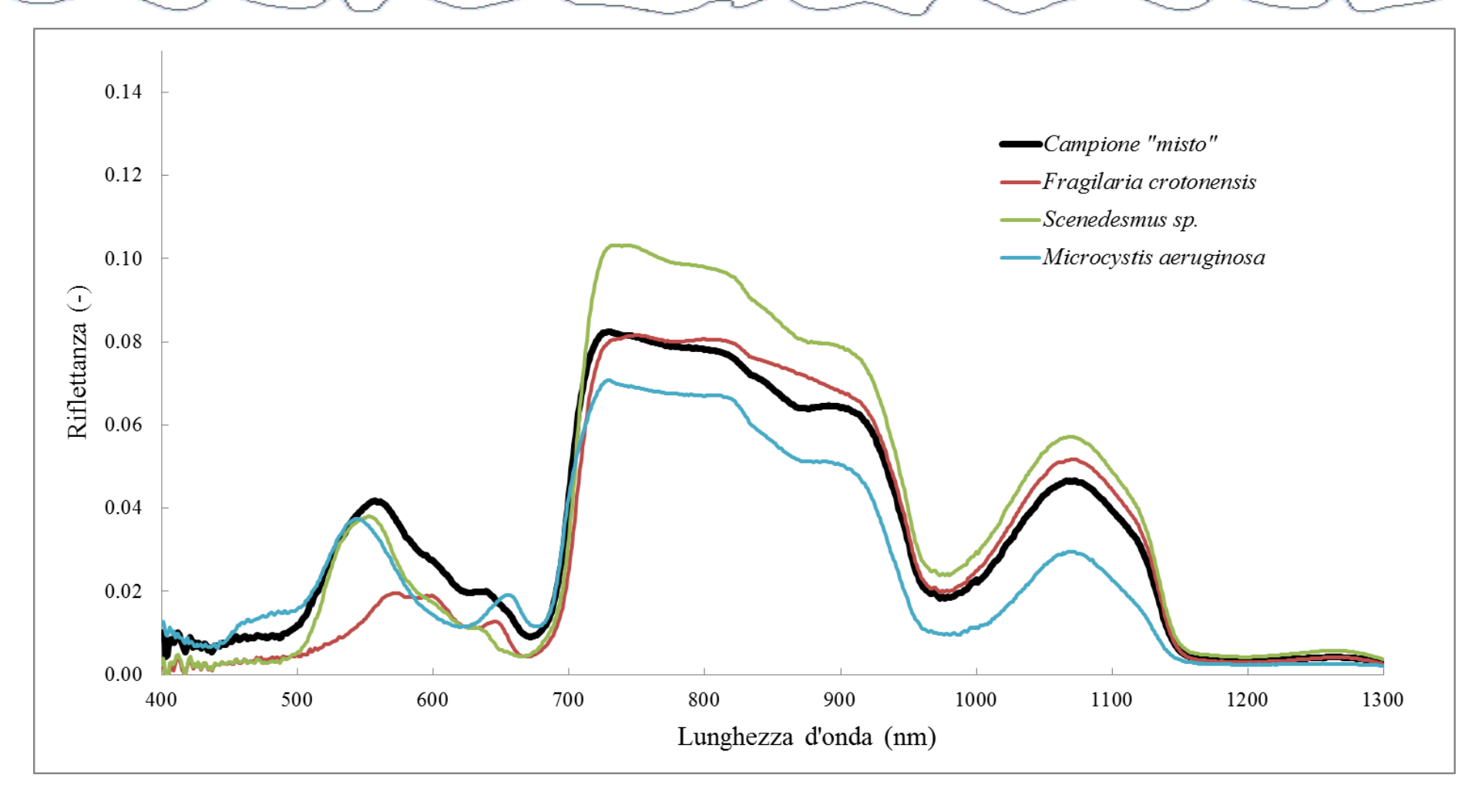
Anabaena presenta il picco di riflettanza nella regione delle ficocianine a lunghezze d'onda maggiori e anticipa spettralmente il minimo di riflettanza



Aphanizomenon e
Nostoc hanno i picchi
di riflettanza a
lunghezza d'onda
minori,
Aphanizomenon ha il
minimo di riflettanza
a lunghezze 'onda
maggiori







In una situazione di fioritura molto disomogenea caratterizzata da differenti gruppi di fitoplancton, la Clorofilla rimane un ottimo indicatore dell'evento mentre i pigmenti secondari tendono ad essere sottostimati



----ana.floaq_hL

m.ae4680_dil1_5 m.aeruginosa4680

nostoc_167

→ syn_6803

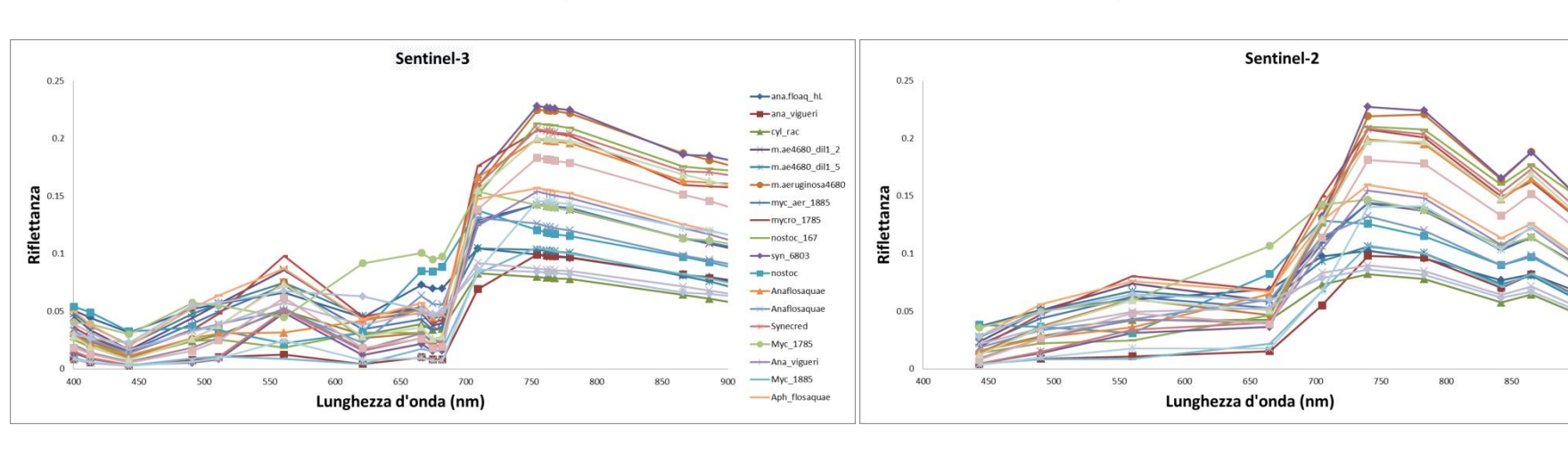
-Anaflosaguae

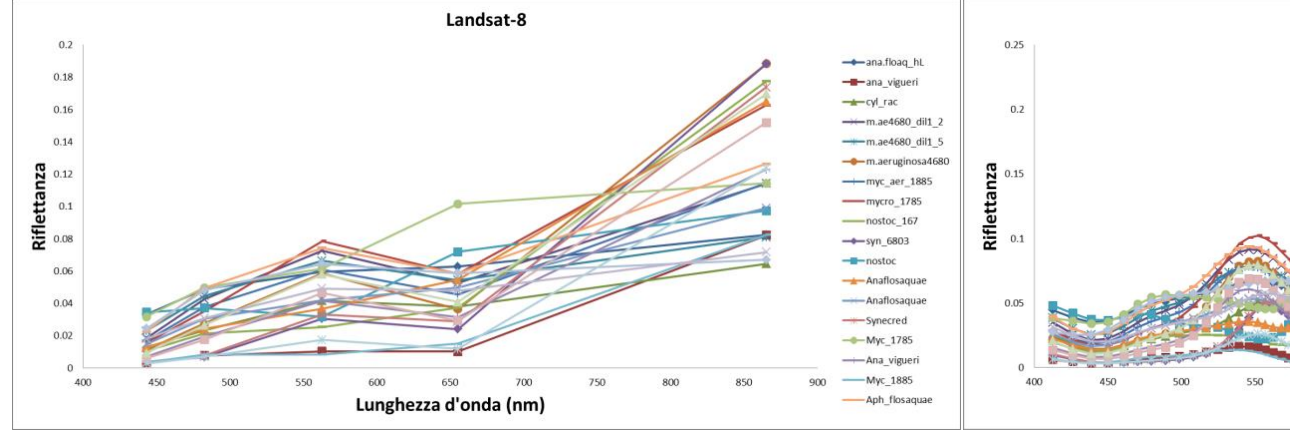
-Myc_1885

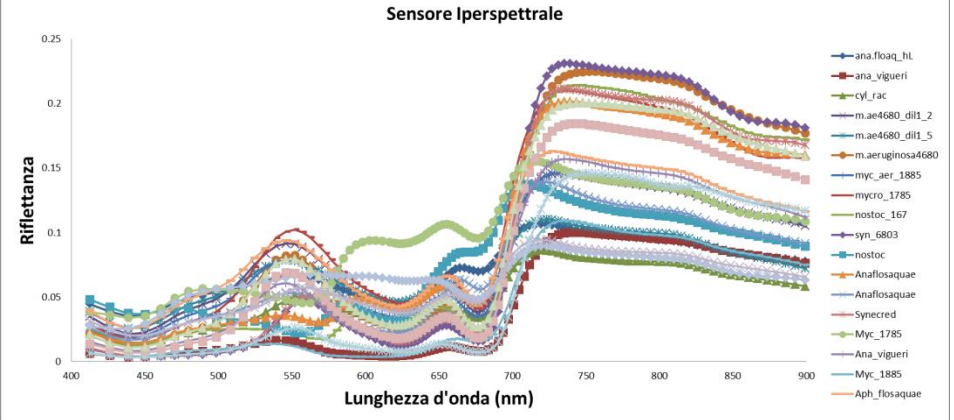
----Aph flosagua

-ana_vigueri

Ricampionamenti spettrali







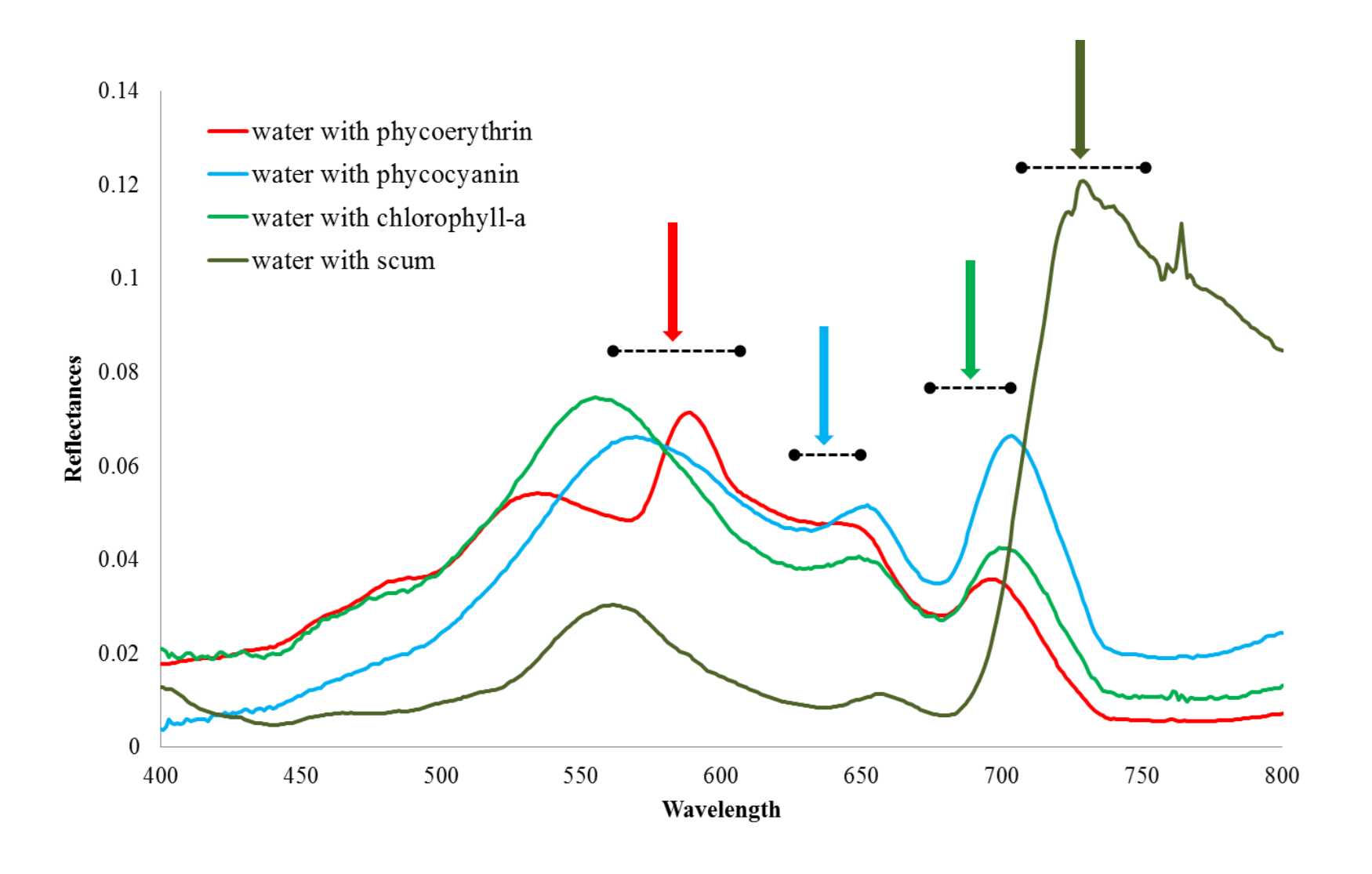


Ricampionamenti spettrali

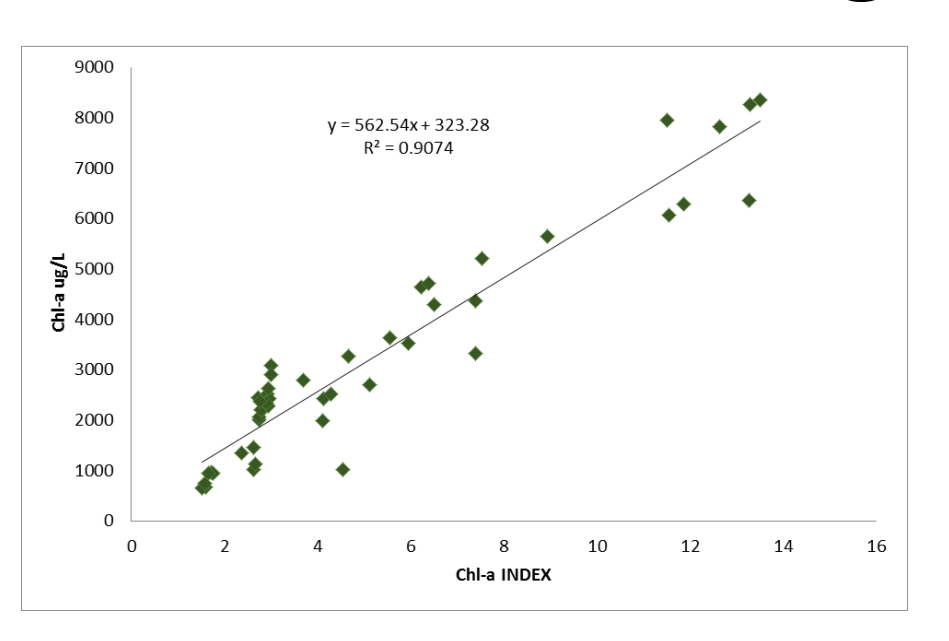
L'analisi dei dati ricampionati alle risoluzioni spettrali dei differenti sensori satellitari e aviotrasportati ha permesso di evidenziare:

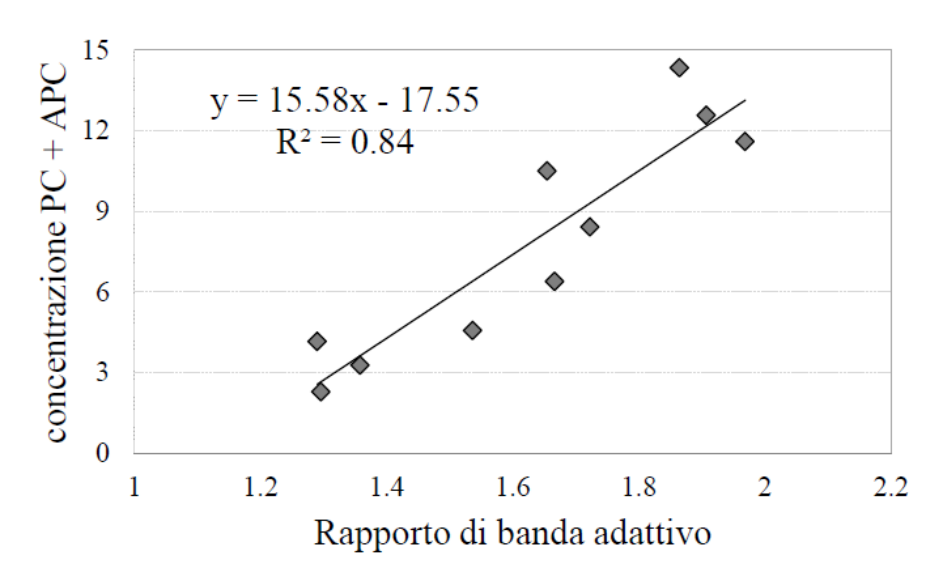
- I sensori iperspettrali (da aereo, future generazioni, HICO, CHRIS-PROBA e SENTINEL-3 / MERIS) presentano caratteristiche idonee per le stime quantitative di tutti i pigmenti dei cianobatteri.
 Applicazione di algoritmi semi-empirici con features spettrale maggiore del rapporto segnale rumore.
- Sentinel-2 idoneo per chl-a con algoritmi semi-empirici e concentrazioni maggiori di 20 mg/m³, con concentrazioni minori e per la stima di ficocianina e ficoeritrina necessaria modellistica bioottica e fioritura di tipo superficiale (Kd molto ridotto).
- Landsat-8 idoneo solo per la Chl-a e solo con modellistica bioottica.

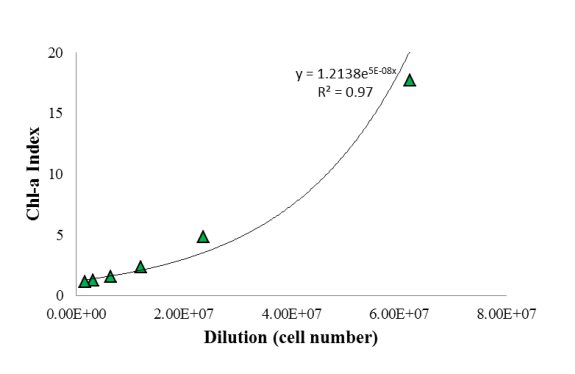
Algoritmi

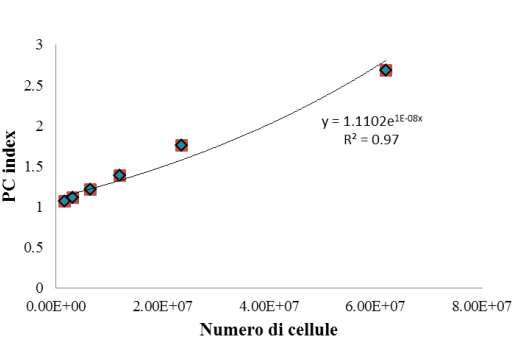


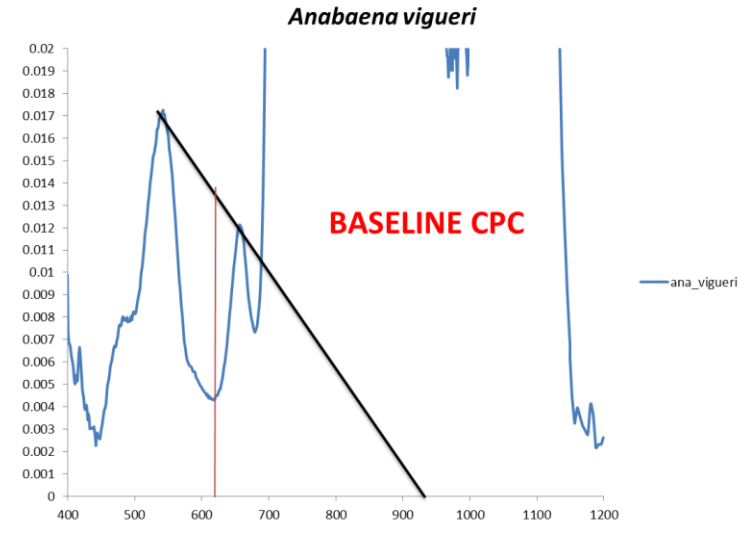
Algoritmi





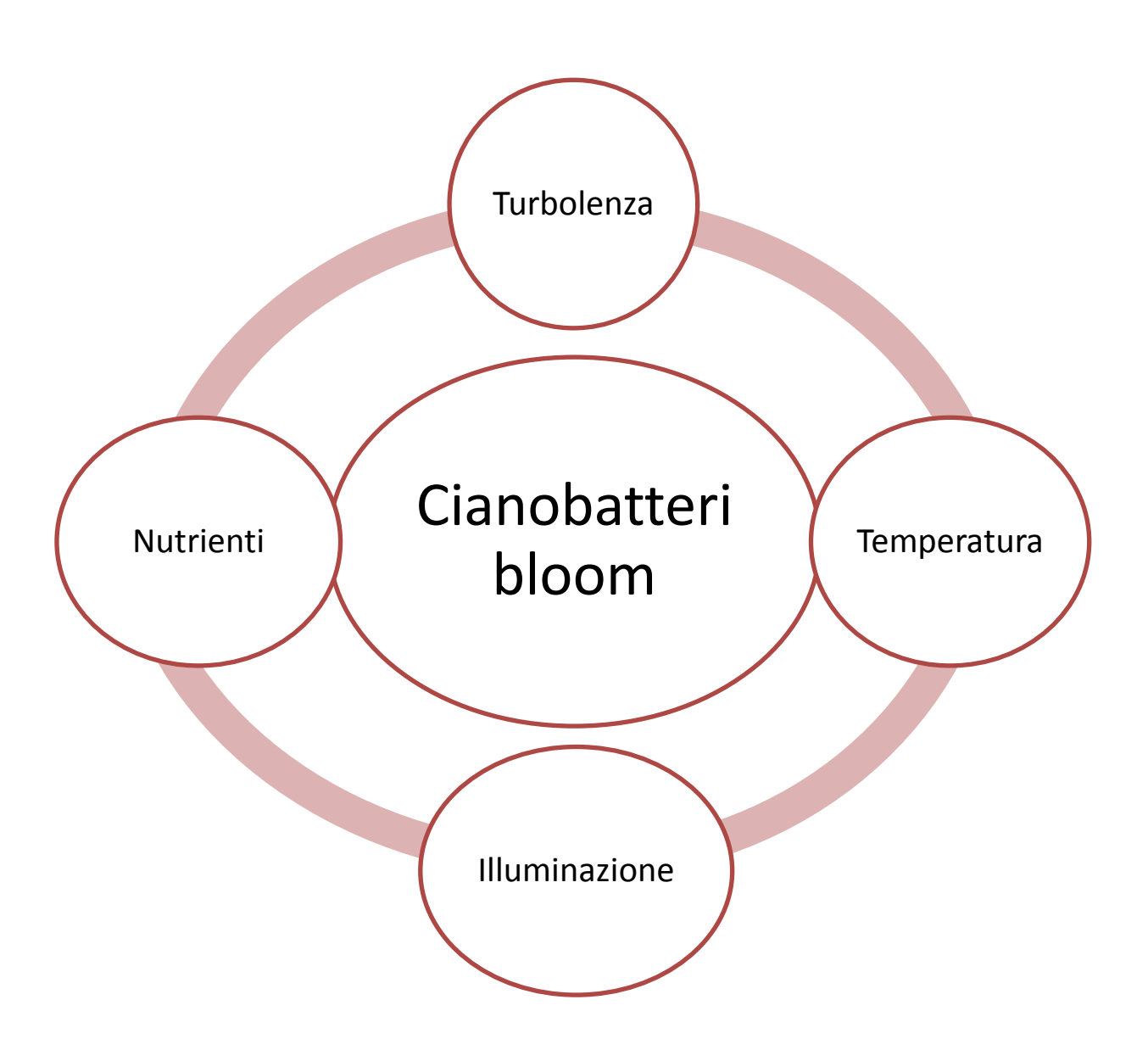






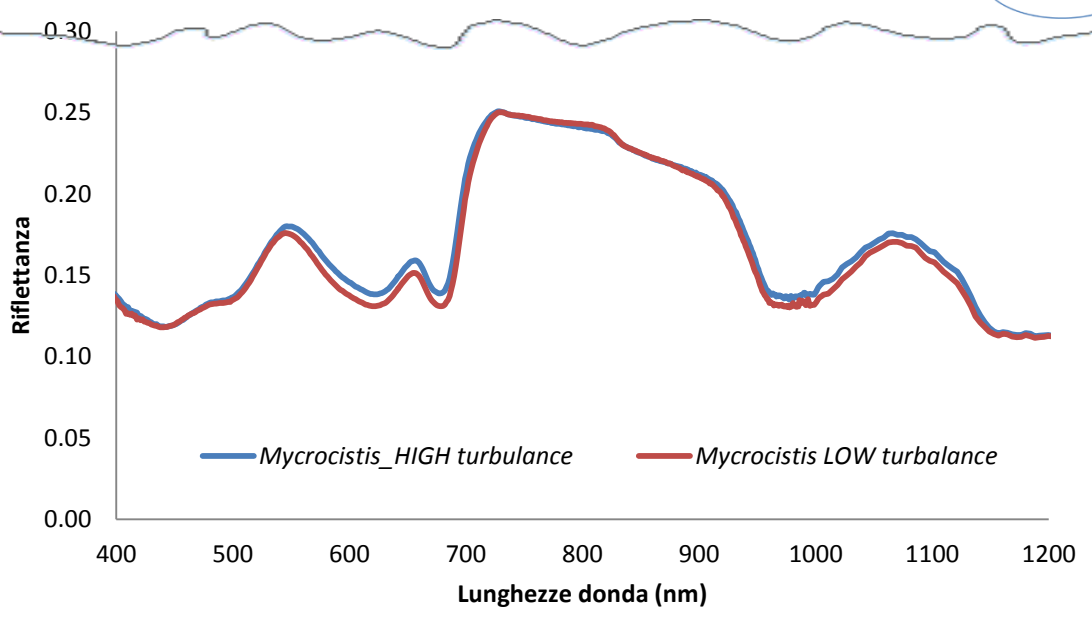
Fattori che condizionano le fioriture

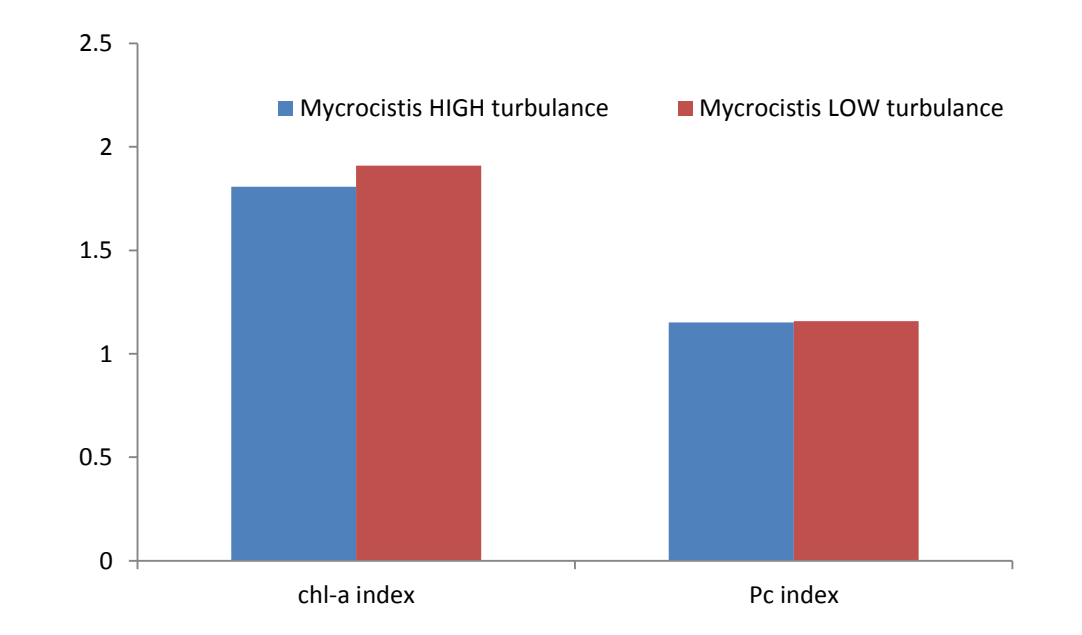






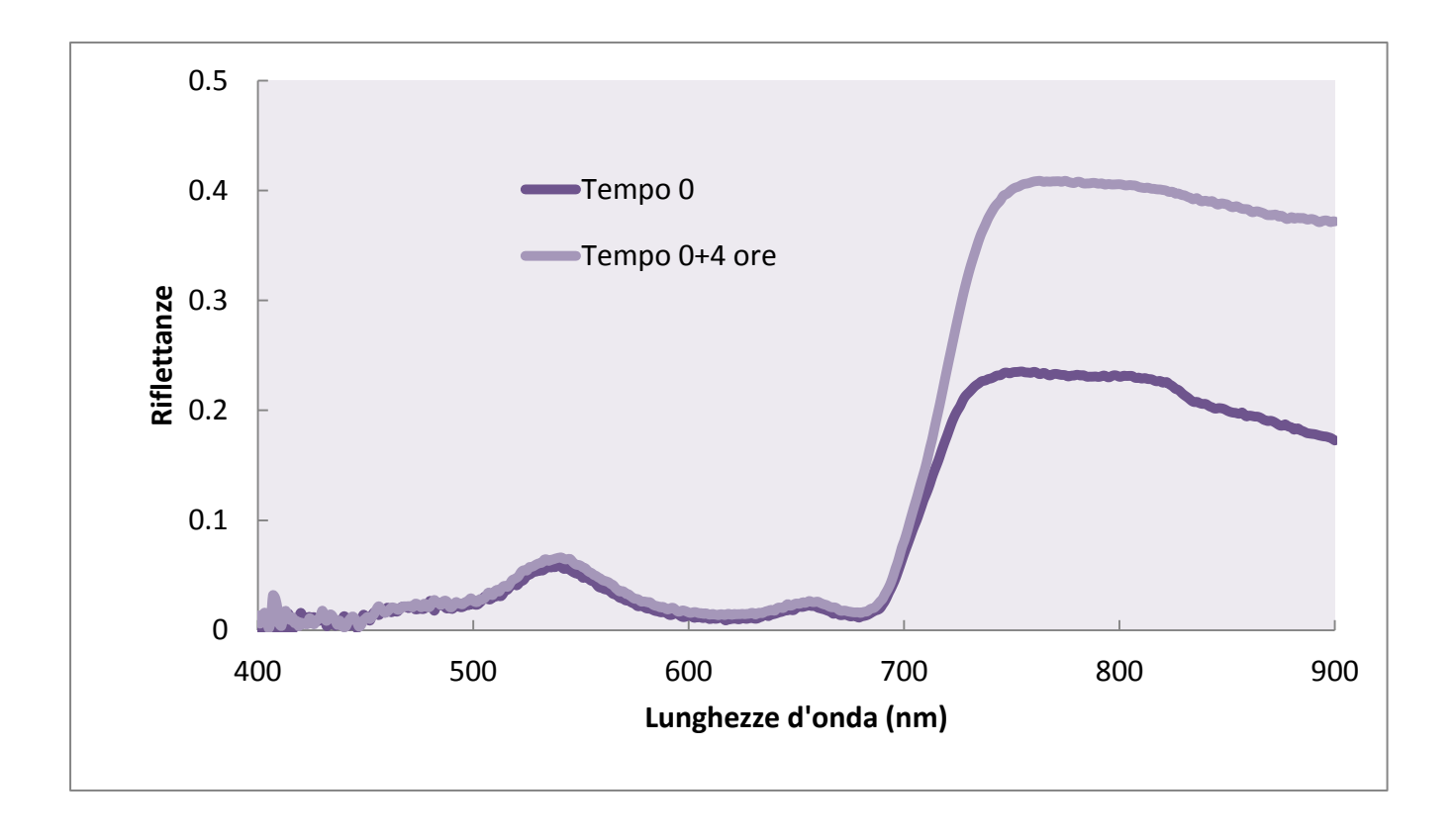
Condizioni di turbolenza differenti determinano un cambiamento nei confronti della risposta spettrale dovuta alla clorofilla nel vicino infrarosso mentre non determinano grandi variazioni nella ficocianina









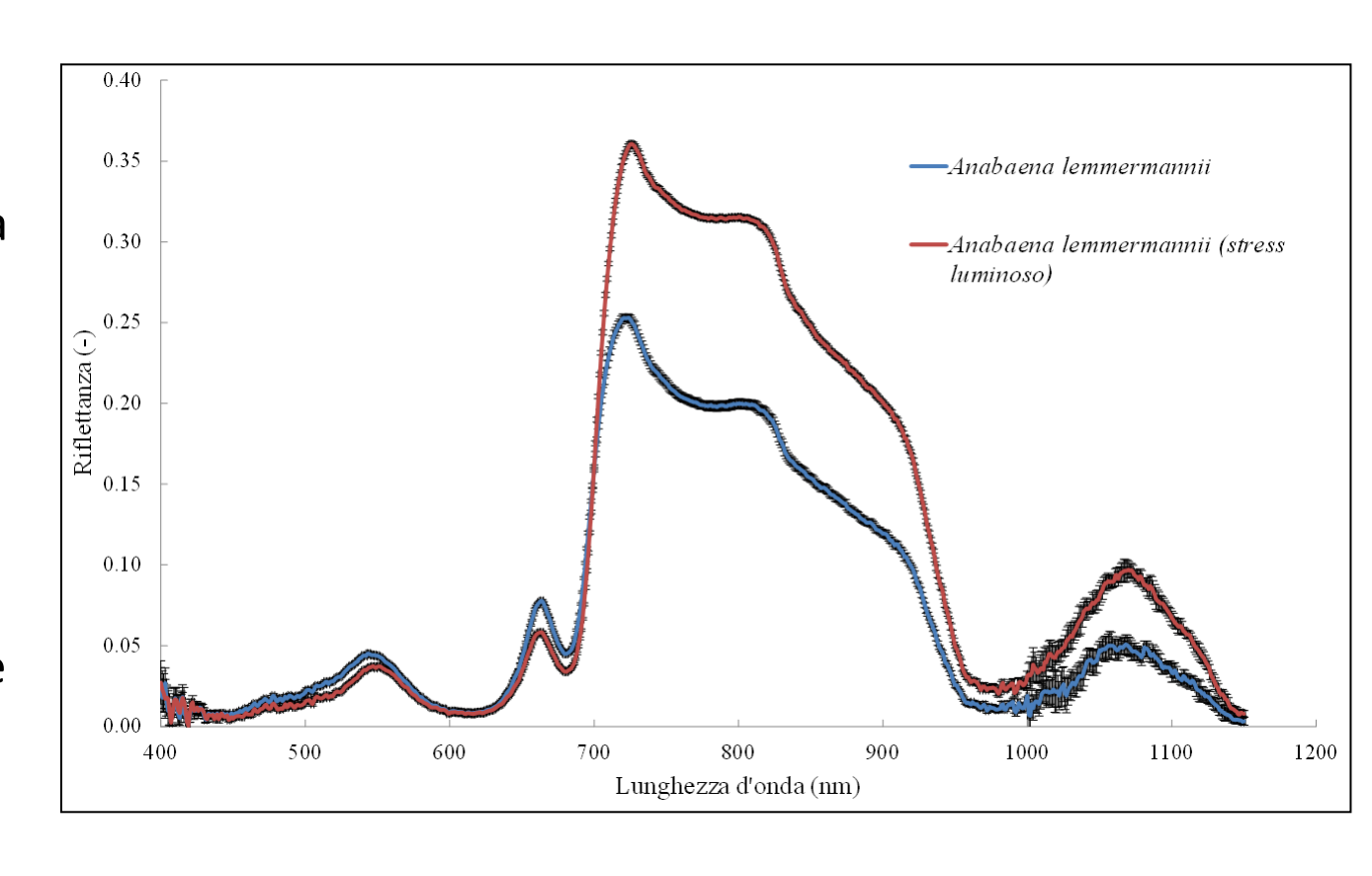


A livello di applicabilità ai dati da satellite i risultati di questo esperimento evidenziano come la turbolenza/buoyancy e il tempo di permanenza in superficie condizionino la regione dell'infrarosso (identificazione tramite gli algoritmi di SCUM).



Illuminazione

L'incremento
dell'intensità luminosa
prolungata per alcuni
giorni determina una
leggera diminuzione
dell'assorbimento
delle ficocianine e un
maggiore scattering
dovuto a cellule morte
nell'infrarosso

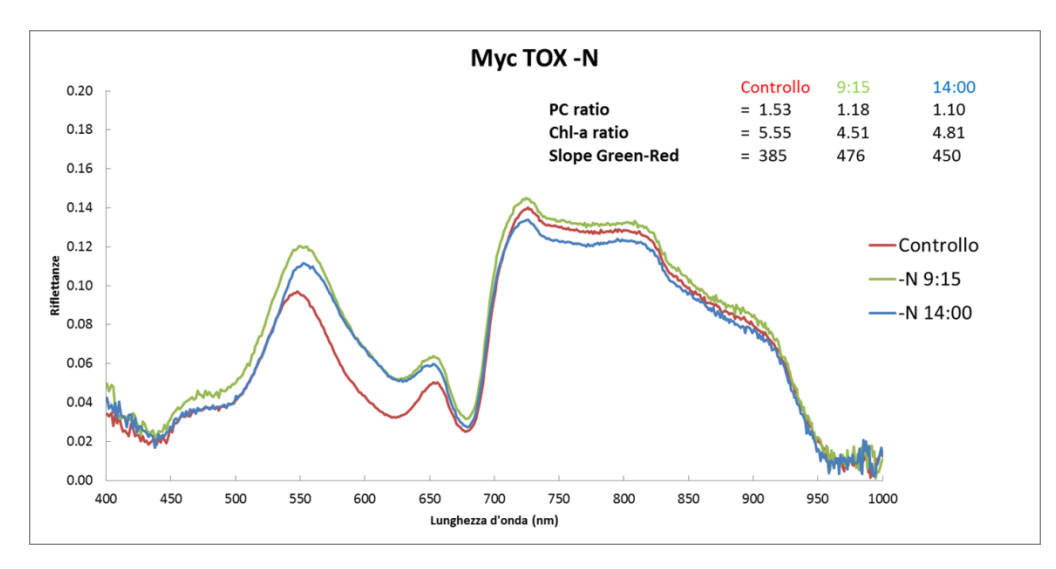


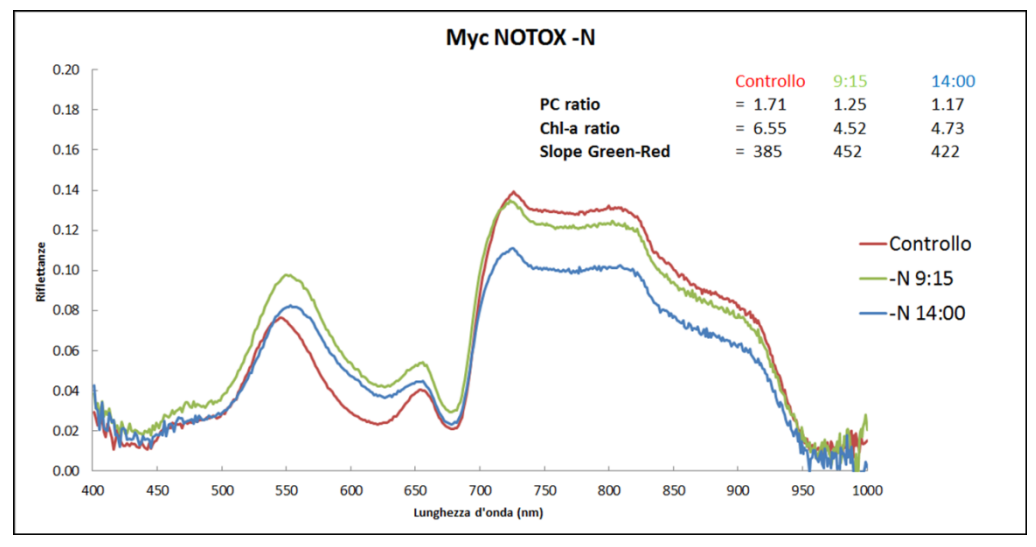
A livello di applicabilità ai dati da satellite i risultati di questo esperimento evidenziano come sia possibile discriminare da dati iperspettrali lo stato fenologico dell'evento di fioritura condizionato dall'illuminazione solare.



Nutrienti

NUTRIENTI - N

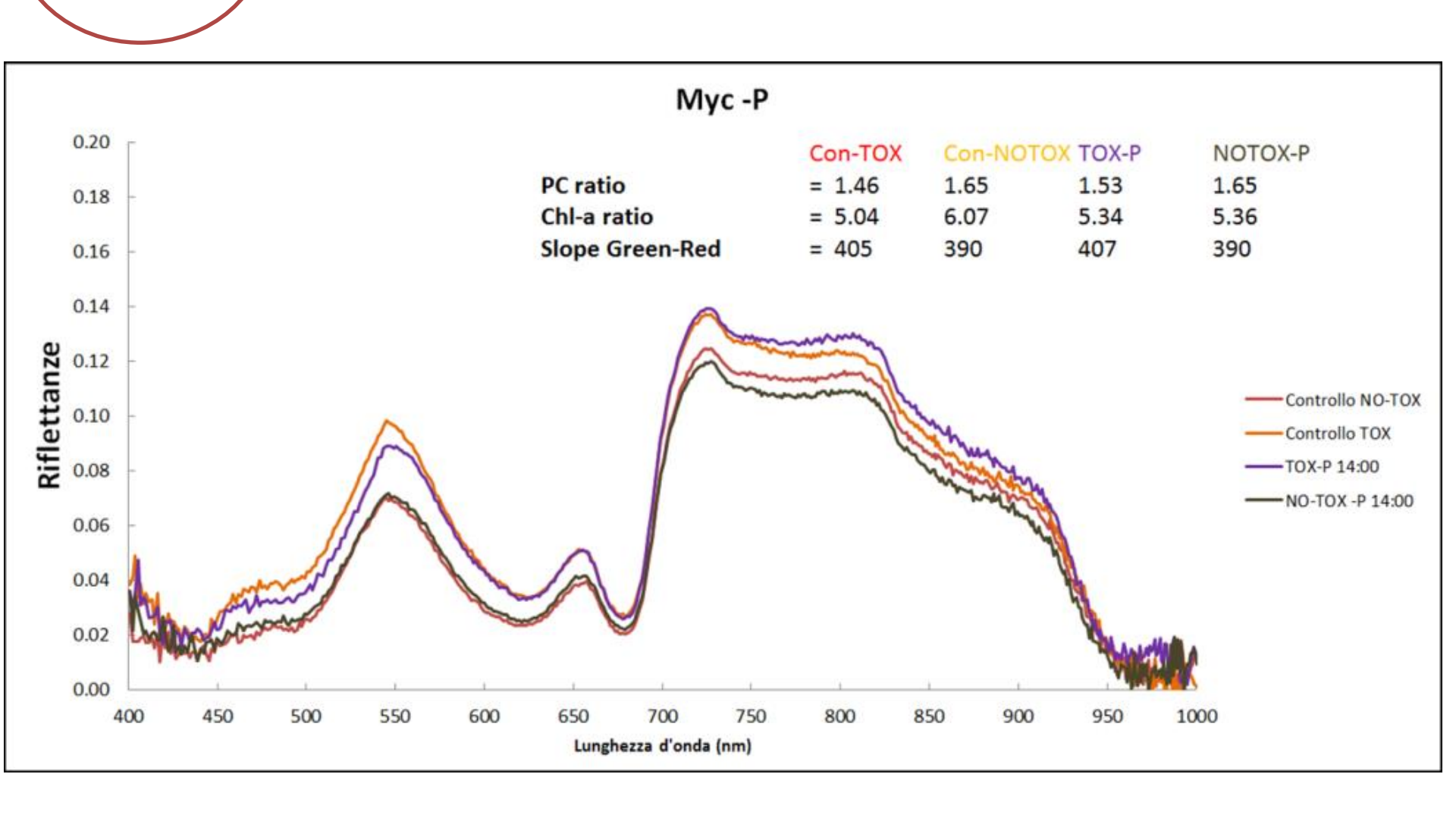






Nutrienti

Nutrienti - P





Illuminazione

Colors light

• I cianobatteri vengono fatti crescere in apposite colture di laboratorio poiché utilizzati come biomassa-biogas e prodotti cosmetici. L'ottimizzazione della crescita di queste colture è importante. Valutazione di come differenti tipologie di luce possono condizionare la crescita dei cianobatteri e i loro pigmenti fotosintetici. Questa conoscenza può essere anche utilizzata come meccanismo alternativo di abbattimento di questi organismi



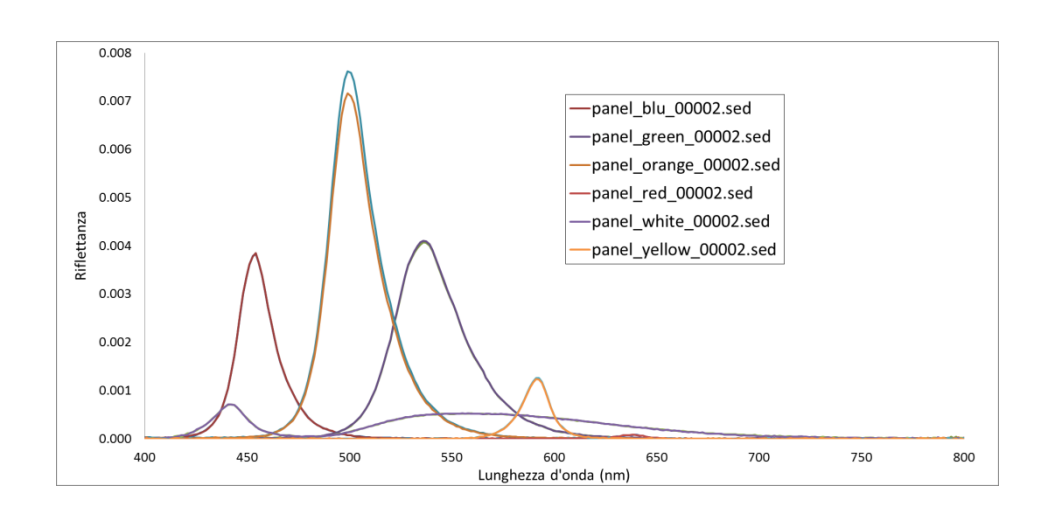














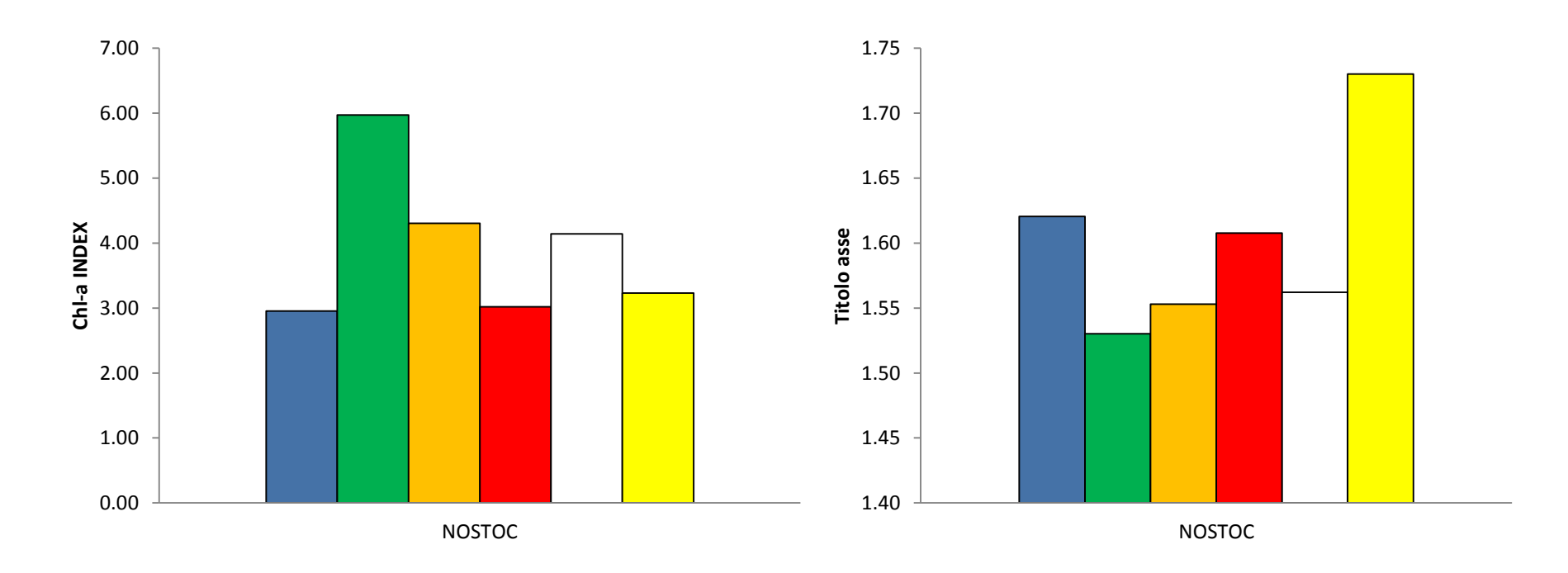
Colors light

- Anabaena flos-aquae: la risposta nelle regioni dei pigmenti (Chl-a, PC)
 mediamente non cambiano in funzione dei colori della luce. Piccole
 variazioni sono mediamente che: la luce BIANCA è quella che fa registrare i
 più alti valori degli indici relativi alla Chl-a mentre quella la BLU e la GIALLA
 per la PC. I valori più bassi per la Chl-a si registrano con la BLU per la Chl-a
 e con la ROSSA per la PC.
- Mycrocistis aeruginosa: le differenze per questa specie sono molto più marcata. La luce VERDE aumenta moltissimo gli indici della Chl-a mentre la BLU aumentano quelli della PC. Per entrambi i pigmenti con la luce ROSSA si registrano i valori più bassi.
- Synechocystis _6803: Valori massini degli indici per entrambi i pigmenti si sono registrati con la luce GIALLA mentre quelli minimi con la luce ROSSA



Colors light

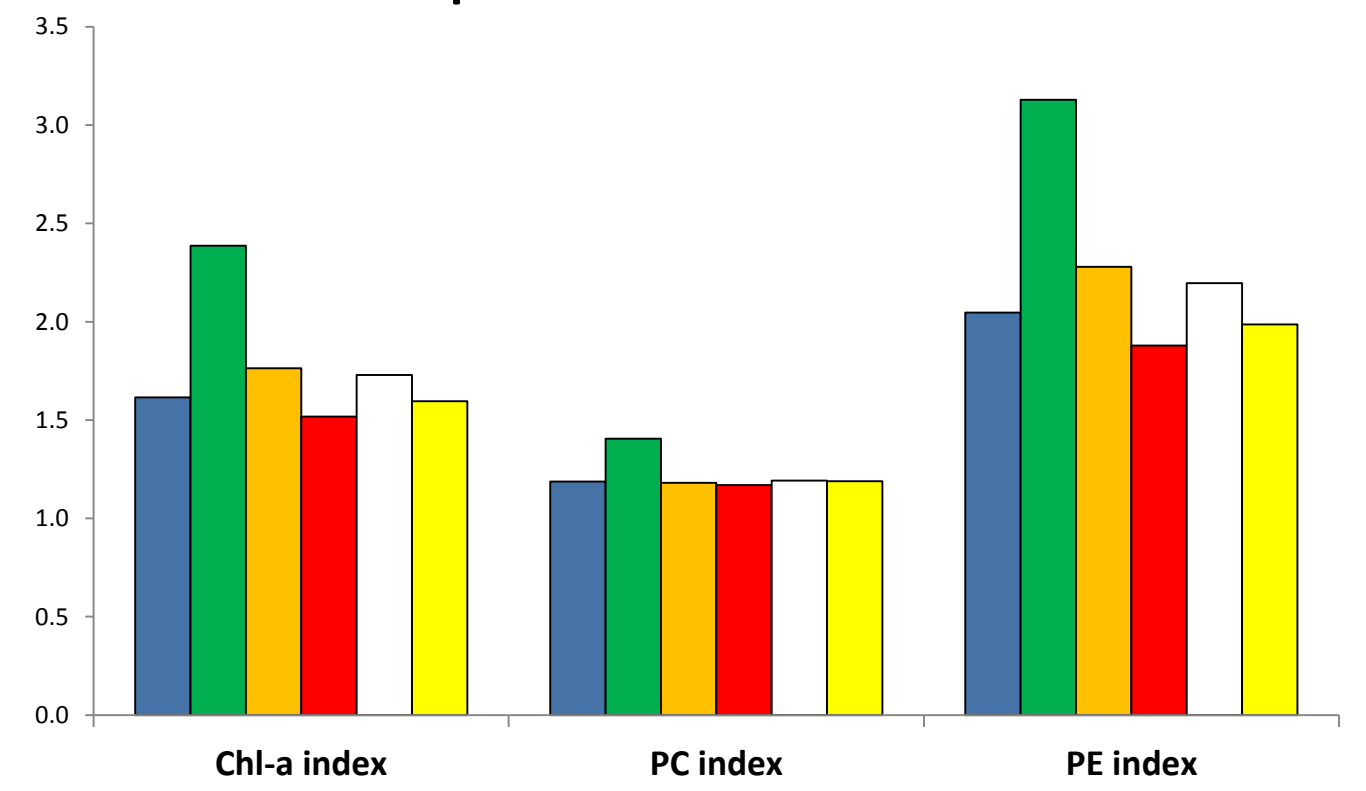
Nostoc: i grafici evidenziano la grande variabilità degli indici al variare delle condizioni di illuminazione





Colors light

 Synechococcus: Valori massini degli indici (Chl-a; PC-PE) si sono registrati con la luce VERDE mentre quelli minimi con la luce ROSSA





Conclusioni

- Caratterizzazione spettrale
- Conoscenza delle proprietà ottiche
- Banca dati
- Protocollo di misure
- Implementazione di algoritmi semi-empirici e parametrizzazione di modelli bio-ottici dedicati da applicare ad immagini satellitari
- Analisi di sensitività dei differenti sensori di Osservazione della terra



Conclusioni

- Grande variabilità spettrale (ceppi uguali ma mantenuti in condizioni differenti hanno diversità maggiori di specie diverse ma fatte crescere nelle stesse condizioni)
- Differenti risposte ai differenti stress di crescita
- La clorofilla è un buon indicatore della stima dei cianobatteri
- La produzione di tossine non determina in modo significativo una risposta spettrale univoca, difficilmente separabile se presenti contemporaneamente specie tossiche da specie non tossiche